



MINISTERO DELLO SVILUPPO ECONOMICO
DIREZIONE GENERALE PER LA TUTELA DELLA PROPRIETÀ INDUSTRIALE
UFFICIO ITALIANO BREVETTI E MARCHI

UIBM

DOMANDA NUMERO	101982900000698
Data Deposito	24/11/1982
Data Pubblicazione	24/05/1984

Priorità	330.540
Nazione Priorità	US
Data Deposito Priorità	14-DEC-81

Titolo

PROCESSO DI REFORMING CATALITICO CON VAPOR ACQUEO

DOCUMENTAZIONE RILEGATA

Descrizione dell'invenzione avente per titolo:

" PROCESSO DI REFORMING CATALITICO CON VAPOR

ACQUEO "

a nome: FOSTER WHEELER ENERGY CORPORATION

a: 110 South Orange Avenue,
Livingston, New Jersey 07039 - U.S.A. -

di nazionalità statunitense ed elettivamente domi-
ciliata a tutti gli effetti di Legge a Milano -
Via Dogana,1 - presso il mandatario Ufficio

Brevetti Ing. C. Gregorj -

(Deposit. il 24 NOV. 1982

No. 24429 A/82

—oo—

RIASSUNTO

Viene realizzato un catalizzatore
per il reforming di idrocarburi con vapor acqueo,
catalizzatore che consiste in un catalizzatore con-
tenente nichel sotto forma di una striscia allungata
attivata.

UFFICIO BREVETTI
C. GREGORJ
ing.

DESCRIZIONE

GENERALITA' DELL'INVENZIONE

In processi industriali per il re-
forming di idrocarburi con vapor acqueo vengono
generalmente predisposti tubi dell'apparato di
reforming che vengono riempiti con un catalizza-

tore di tipo granulare. Gli idrocarburi, come metano, gas naturale o un materiale di alimentazione più pesante, vengono messi a contatto con il catalizzatore unitamente ad una sorgente di calore in modo da ottenere gas di sintesi. In pratica e' stato seguito il sistema generale di creare un catalizzatore di forma granulare che viene sistemato entro i tubi i quali sono costituiti da tubo di diametro relativamente piccolo per ragioni connesse al trasferimento di calore ed alla pressione. In sistemi di questo tipo e' necessario consumare una quantità notevole di energia per poter pompare i gas reagenti attraverso il letto di catalizzatore granulare. Allo scopo di risolvere questo problema connesso con i processi di reforming con vapore acqueo della tecnica del passato, in conformità con la presente invenzione e' stato realizzato un catalizzatore che viene fatto aderire saldamente ad una striscia metallica che e' collocata amovibilmente entro i tubi attraverso i quali fluisce la corrente di processo. E' stato proposto di torcere la striscia metallica facendole assumere una configurazione elicoidale tale che la relazione intercorrente fra superficie catalitica e desiderata velocità della corrente di processo puo' essere controllata variando la torsione ad elica della striscia metallica. Inol-

tre il grado di torcitura o numero di torsioni formate lungo la striscia puo' essere calcolato in funzione del rapporto di trasferimento di calore alle pareti dei tubi. Inoltre, sostituendo il precedente sistema a base di catalizzatore granulare con la striscia ritorta della presente invenzione, e' possibile diminuire notevolmente la caduta di pressione attraverso il sistema. La limitazione attualmente esistente in merito ai diametri minimi dei tubi, limitazione che e' imposta dalla natura granulare del catalizzatore, non si rende più necessaria quando si impiega la presente invenzione che contempla una striscia di catalizzatore, rendendo in tal modo possibile progettare apparati di reforming con vapore acqueo che operino a pressioni più elevate di quanto non sia stato sinora possibile. Così, la presente invenzione rende possibile sottoporre a reforming i materiali di alimentazione grazie alla possibilità di una più facile manipolazione del catalizzatore.

COMPENDIO DELL'INVENZIONE

In conformità con pratiche realizzazioni illustrate dimostranti aspetti e vantaggi della presente invenzione viene attuato un processo, un apparato ed un catalizzatore per il reforming di

idrocarburi con vapor acqueo. Il processo di reforming comprende il contatto degli idrocarburi con un catalizzatore contenente nichel, catalizzatore sotto forma di una striscia allungata attivata, in relazione di scambio termico indiretto con una sorgente di calore. L'apparato costituente il reattore di reforming comprende un recipiente in cui e' sistemata una pluralità di tubi. Sono predisposti sistemi per riscaldare i tubi ed un catalizzatore contenente nichel sotto forma di una striscia allungata attivata viene collocato in ciascuno dei tubi in modo tale che gli idrocarburi ed il vapor acqueo possono passare attraverso i tubi e reagire cataliticamente. Il catalizzatore consiste in un catalizzatore contenente nichel sotto forma di una striscia allungata attivata atta ad essere collocata in un tubo riscaldato destinato ad accogliere gli idrocarburi ed il vapor acqueo. In questo modo gli idrocarburi reagiscono con il vapor acqueo con produzione di un gas di sintesi ricco di idrogeno.

BREVE DESCRIZIONE DEI DISEGNI

La precedente breve descrizione, così come ulteriori scopi, aspetti e vantaggi della presente invenzione potranno essere più completa

mente apprezzati facendo riferimento alla seguente descrizione particolareggiata di una pratica forma realizzativa presentemente preferita, ma peraltro puramente illustrativa, conforme alla presente invenzione, quando considerata sulla scorta degli allegati disegni, in cui:

la figura 1 e' una vista schematica in elevazione frontale di un recipiente costituente il reattore;

la figura 2 e' una vista in elevazione di una striscia metallica piana sostenuta ad un'estremità, la freccia all'estremità opposta indicando il processo di torcitura;

la figura 3 e' una vista in prospettiva, simile alla figura 2, di una coppia di strisce metalliche perpendicolari;

la figura 4 e' una vista schematica in elevazione di un tubo ingrandito per mostrare più chiaramente la configurazione della striscia costituente il catalizzatore;

la figura 5 e' una vista in sezione ingrandita di un tubo per il reforming simile a quello della figura 4, ma con tre strisce sistamate entro il tubo;

la figura 6 e' una vista in sezione

di una ulteriore forma realizzativa della presente invenzione che mostra un serpantino ed una barra rotonda collocati in un tubo di reforming;

la figura 7 e' una vista in elevazione di una striscia formata con elementi costituenti delle ramificazioni; e

la figura 8 e' uno schema del ciclo operativo di un impianto pilota per attuare il processo di reforming con vapore acqueo della presente invenzione.

DESCRIZIONE DELLA PREFERITA FORMA

REALIZZATIVA

Facendo ora riferimento specificamente ai disegni, nella figura 1 viene rappresentato schematicamente un recipiente facente da reattore 10, creato con una camera interna 12 definita da una parete rettangolare 14. Un materiale di alimentazione F costituito da una miscela di idrocarburo e vapor acqueo viene fatto passare nel recipiente 10 costituente il reattore per il tramite di un condotto di entrata 16 che e' collocato all'esterno del recipiente 10 in comunicazione di flusso con la camera interna 12. E' preferibile impiegare un materiale di alimentazione idrocarburico come metano o gas naturale, ma si deve tenere ben presente che

l'invenzione in parola e' anche applicabile ad idrocarburi più pesanti.

Una pluralità di tubi 20 e' disposta nella camera interna 12 ed il condotto di entrata 16 e' collegato ai tubi 20 per convogliare il materiale di alimentazione F ai tubi 20. Dispositivi per riscaldare i tubi 20 sono contraddistinti dalle frecce direzionali 22. Un catalizzatore contenente nichel attivato sotto forma di un turbolatore o elemento provocante turbolenza 24 viene collocato in ciascuno dei tubi 20. In questo modo, il materiale di alimentazione passa nei tubi 20 e gli idrocarburi ed il vapor acqueo, quando portati in relazione di scambio termico indiretto con la sorgente di calore 22, reagiscono in presenza del turbolatore 24 cataliticamente attivo in modo che ivi si produce un gas di sintesi ricco di idrogeno indicato dalle frecce direzionali 26, gas che viene convogliato fuori dalla camera interna 12 per mezzo di un condotto di uscita 28 che e' collegato in comunicazione di flusso con i tubi 20. I turbolatori 24 sono mantenuti in posizione fissa nei tubi 20 per mezzo di un gancio a molla superiore 30 ed un gancio a molla inferiore 32 che sono collocati in corrispondenza delle rispettive porzioni superiore ed inferiore dei tubi 20. Come si

vede nel migliore dei modi in figura 4, i turbolatori 24 sono creati con aperture 34 per accogliere i ganci a molla 30 e 32.

Si deve notare che se precedentemente lavorata a freddo, la superficie di nichel dei turbolatori 24 puo' essere attivata mediante vapore durante il periodo iniziale del processo di reforming grazie al calore proveniente dalla sorgente 22.

Facendo riferimento alle figure 2 e 3 si puo' vedere che il turbolatore 24 viene formato lavorando a freddo uno sbozzato traciato come lo sbozzato 36 di forma planare ed uno sbozzato 40 ad esso perpendicolare. Così lo sbozzato piatto 36 e lo sbozzato perpendicolare 40 vengono fissati in corrispondenza delle loro estremità inferiori e vengono ritorti attraverso una serie di rotazioni a 180° come indicato dalle frecce direzionali circolari T. In questo modo e' possibile formare la striscia 24.

che funge da turbolatore con tipi vari di configurazione. Per ragioni di semplicità il turbolatore incrociato formato dallo sbozzato 40 non e' mostrato nella sua posizione quale collocato nel tubo 20 di reforming. Pertanto, il turbolatore 24 che e' formato dallo sbozzato piatto 36 presenta una forma generalmente sinusoidale che viene formata torcendo lo sbozzato 36 attraz-

verso la serie di torsioni T a 180°. Come si vede nella figura 4 l'effettiva configurazione di ciascuna torsione T a 180° per il turbolatore 24 e' stabilita da un fattore Y che e' determinato dalla lunghezza L della torsione T divisa per il diametro D del tubo 20. Il fattore Y deve essere compreso fra 1,8 e 3,0 e preferibilmente deve essere di 2,6 per ottenere risultati ottimali nel sistema di reforming.

Nella figura 5 viene illustrata un'altra forma realizzativa della presente invenzione in cui parti corrispondenti sono state contrassegnate dagli stessi numeri di riferimento come parte di una serie di "100". In questa forma della presente invenzione si vede un tubo 120 di reforming destinato a sostenere catalizzatore contenente nichel elementare sotto forma di una pluralità di turbolatori 124 attivati. In questo modo, il materiale di alimentazione passa nei tubi 120 e gli idrocarburi ed il vapor acqueo quando messi in relazione di scambio termico indiretto con la sorgente di calore regiscono cataliticamente con i turbolatori 124 in modo che si produce un gas di sintesi ricco di idrogeno. I tre turbolatori 124 illustrati nella figura 5 vengono mantenuti in posizione fissa entro i tubi 120 per mezzo di ganci a molla superiori 130 e ganci a molla inferiori,

che non sono indicati nei disegni, ganci che sono collocati nelle rispettive porzioni superiore ed inferiore del tubo 120.

Nella figura 6 viene illustrata una ulteriore forma realizzativa della presente invenzione nella quale parti corrispondenti sono state contrassegnate dagli stessi numeri di riferimento come parte di una serie di "200". In questa forma della presente invenzione si vede un tubo 220 di reforming destinato a sostenere il catalizzatore contenente nichel sotto forma di un turbolatore attivato 224 che e' avvolto a serpentino attorno ad una barra tonda 225. Il turbolatore 224 e' saldato alla barra 225 in modo che si forma un passaggio elicoidale fra il turbolatore 224 e le pareti interne del tubo 220 come indicato dalle frecce direzionali elicoidali H. In questo modo il materiale di alimentazione passa nei tubi 220 e gli idrocarburi ed il vapore acqueo quando messi in relazione di scambio termico indiretto con la sorgente di calore reagiscono cataliticamente con i turbolatori 224 in modo che ivi si produce un gas di sintesi ricco di idrogeno. Il turbolatore 224 e la barra 225 indicati nella figura 6 vengono mantenuti in posizione fissa entro i tubi 220 per mezzo di ganci a molla superiori 230 e ganci a molla inferiori 231.

la inferiori 232 che sono posti in corrispondenza delle rispettive porzioni superiore ed inferiore dei tubi 220.

Nella figura 7 viene illustrata una ulteriore forma realizzativa della presente invenzione in cui parti corrispondenti sono state contrassegnate con gli stessi numeri di riferimento come parte di una serie di "300". In questa forma della presente invenzione viene illustrato un tubo 320 di reforming per sostenere il catalizzatore contenente nichel sotto forma di un turbolatore attivato 324 costituito da una barra recante elementi costituenti ramificazioni. Il turbolatore 324 include una barra centrale 325 sulla quale sono saldati elementi 327 costituenti appunto delle ramificazioni. In questo modo il materiale di alimentazione passa nei tubi 320 e gli idrocarburi ed il vapor acqueo quando messi in relazione di scambio termico indiretto con la sorgente di calore reagiscono cataliticamente con i turbolatori 324 in modo che ivi si produce un gas di sintesi ricco di idrogeno. Il turbolatore 324 costituito da una barra recante delle ramificazioni, quale illustrato nella figura 7, viene mantenuto in posizione fissa nei tubi 320 per mezzo di ganci a molla superiori 330 e ganci a molla inferiori 332 che sono

collocati in corrispondenza delle rispettive parti superiore ed inferiore dei tubi 320.

Per quanto la reazione che fa uso di un catalizzatore a base di formiato di nichel possa essere condotta con catalizzatore presentante una varietà di configurazioni come descritto, le strisce ritorte di nichel danno i risultati più vantaggiosi. La reazione di reforming procede nel modo più efficace con le strisce ritorte contenenti nichel per via delle migliori velocità spaziali attraverso il tubo di reazione rispetto al caso in cui i reagenti a base di nichel hanno la forma di strisce diritte. Reattori che fanno uso di strisce ritorte presentano una bassa caduta di pressione (da 1% a 4% rispetto ai normali apparati di reforming con letto costipato) ed assicurano un elevato trasferimento di calore. Inoltre, essi risultano vantaggiosi per via del minor costo dei necessari elementi soffianti, del minor costo di lavorazione e della facilità di controllo.

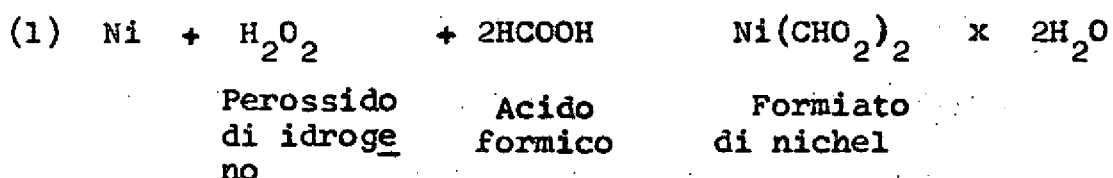
In conformità con la presente invenzione, i turbolatori di nichel 24, 124, 224 e 324 possono essere attivati mediante un processo di lavorazione a freddo, oppure mediante un processo di attivazione con acido formico.

Il processo di lavorazione a freddo

implica un certo tipo di deformazione fisica in condizioni ambientali caratterizzate sostanzialmente da temperatura normale. Così il processo di lavorazione a freddo potrebbe comprendere la torsione di una striscia di nichel elementare come uno sbozzato 36, alla temperatura ambiente, in modo tale che si puo' ottenere la risultante configurazione rappresentata nelle figure 4, 5 e 6. Inoltre, il turbolatore di figura 7 presentante elementi ramificati, potrebbe essere ottenuto mediante procedimenti a freddo di lavorazione, piegatura o allungamento. Sottponendo in tal modo a torsione lo sbozzato 36 si creano sollecitazioni e l'uso iniziale del turbolatore 24 nel tubo 20 di reforming causerà ricristallizzazione del nichel elementare accompagnata da un aumento della grossezza del grano. Il risultato di questi processo di lavorazione a freddo e' una superficie catalitica di nichel altamente attiva che puo' essere impiegata in operazioni di reforming con vapor acqueo.

Il processo di attivazione con acido formico comprende due stadi. Il primo stadio richiede la formazione di uno strato di formiato di nichel sulla superficie delle strisce di nichel, il secondo stadio richiede l'esposizione della striscia con il suo rivestimento di formiato di nichel all'azione

del calore in modo da decomporre il rivestimento e produrre un catalizzatore di nichel altamente attivato. Nel primo stadio la striscia di nichel, sotto forma di uno sbizzarrito o tranciato 36, viene immersa in una miscela di acido formico e perossido di idrogeno, e si verifica la seguente reazione chimica:



Parti del nichel si sciogliono in questa soluzione e sulla striscia si deposita uno strato sottile di formiato di nichel.

Il secondo stadio puo' essere attuato collocando nell'impianto di reforming la striscia trattata ottenuta dal primo stadio. Sotto l'azione del calore si verifica una decomposizione del formiato di nichel nella quale si sviluppano gas costituiti da idrogeno e di ossido di carbonio. Questa reazione forma uno strato di nichel altamente attivato che presenta una maggiore superficie specifica, in conformita con la seguente reazione chimica:



L'aumento nella superficie specifica ovverossia area superficiale e' dovuto alla trasformazione di una superficie compatta e relativamente

liscia in una superficie irregolare e porosa dopo il processo di attivazione con acido formico.

Si e' trovato che il nichel attivato si produce quando le strisce contenenti nichel vengono immerse in una soluzione di perossido di idrogeno ed acido formico. Strisce contenenti nichel che non sono trattate o sono trattate solamente con acido formico non mostrano la capacità ad agire come efficaci catalizzatori di reforming con vapore acqueo.

Il perossido di idrogeno si rende necessario nella reazione di attivazione perche' l'acido formico non e' di per se' stesso un agente ossidante abbastanza forte da creare il catalizzatore desiderato. Solamente con l'aggiunta di un ossidante come perossido di idrogeno, l'acido formico agisce sulle strisce di nichel in modo da produrre, come desiderato, il formiato di nichel.

La soluzione di acido formico e perossido di idrogeno puo' essere costituita da 20-95% in peso di acido formico al 90% e 5-80% in peso di perossido di idrogeno al 30%. Di preferenza la soluzione contiene da 80% a 90% in peso di acido formico al 90% e da 10% a 20% in peso di perossido di idrogeno al 30%.

Facendo riferimento ora alla figura 8,

in tale figura si vede un impianto pilota genericamente indicato con 400 per effettuare procedimenti di reforming con vapor acqueo usando un catalizzatore contenente nichel elementare sotto forma di un turbolatore 402. Il turbolatore 402 viene conformemente collocato in un tubo 404 di reforming che presenta una bocca di entrata 406 ed una bocca di uscita 408. Due termocoppie 410 sono collegate dall'entrata 406 all'estremità del turbolatore 402, una termocoppia 411 è collocata in corrispondenza di metà del turbolatore 402, ed un'altra coppia di termocoppie 412 è collegata dall'uscita 403 all'altra estremità del turbolatore 402. Il tubo 404 di reforming è dotato di due batterie di riscaldatori elettrici 414 ciascuna delle quali include tre elementi a resistenza 416 collegati ad un dispositivo di controllo ed indicazione della temperatura 418 e ad un trasformatore variabile 420 per fornire corrente alternata con una tensione di 208 volt. Il materiale di alimentazione viene fatto pervenire al tubo di reforming 404 attraverso una linea di alimentazione 422 che crea un collegamento fra l'entrata 406 ed una bobola di metano 424 per fornire materiale di alimentazione. La linea di alimentazione 422 dopo aver lasciato la bombola di metano 424 è dotata di un indicatore di

flusso 428, una valvola di controllo 430 ed un regolatore 432 della pressione. Nella linea di alimentazione 422 sono pure disposti un elemento di assorbimento 434 dello zolfo e costituito da un letto di carbone, ed un bagno salino 436. Il bagno salino 436 include un recipiente 438 destinato a mantenere un sale fuso in relazione di scambio termico indiretto con il serpantino 440. Un serbatoio 442 per acqua ed una pompa 444 sono collegati alla linea di alimentazione 422 in modo tale che il materiale di alimentazione proveniente dalla bombola 424 possa formare una miscela con vapor acqueo. Il materiale di alimentazione ed il vapor acqueo nel tubo 404 di reforming vengono messi in scambio termico indiretto con i riscaldatori 416 e reagiscono in presenza del turbolatore 402 cataliticamente attivo in modo che si forma un gas di sintesi ricco di idrogeno dopo di che vengono fatti passare attraverso l'uscita 408 in una linea di scarico 442. Il gas di sintesi proveniente dalla linea di scarico 442 viene raffreddato, separato e campionato in modo tradizionale.

Si deve comprendere che il processo per l'attivazione del catalizzatore conforme alla presente invenzione puo' essere attuato depositando uno strato di composto contenente nichel sulla superficie di una

striscia allungata come lo sbozzato planare 36 o lo sbozzato perpendicolare 40. Il composto contenente nichel viene poi decomposto sottoponendolo all'azione di una sorgente di calore. In questo modo si verifica una decomposizione del composto di nichel nella quale si ha sviluppo di gas e grazie alla quale lo strato di composto di nichel viene altamente attivato.

Al fine di descrivere ed illustrare più chiaramente i vantaggi della presente invenzione si fa riferimento ai seguenti specifici esempi realizzati con l'impianto pilota 400.

PROCEDIMENTO ANALITICO

E' stata effettuata un'analisi per la determinazione di azoto, metano, monossido di carbonio ed etano usando un chromatografo A-350 con rivelatore di termocondutività. Il materiale di riempimento della colonna era costituito da gel di silice che e' stato tarato mediante campioni normalizzati preparati in una buretta a gas di Hempel.

Per ciascuna taratura viene usata una equazione regressiva lineare ed eventuale deviazione strumentale sistematica viene eliminata mediante un gas di standardizzazione a normalizzazione costituito da azoto che consente il calcolo di un fattore di correzione. La colonna analitica e' stata mantenuta in

condizioni di funzionamento isotermico a 33°C. Per i suddetti composti vengono usate misurazioni dell'altezza dei picchi con una correzione per l'appropriata attenuazione.

L'analisi per biossido di carbonio e' stata pure effettuata con una colonna di gel di silice che e' stata fatta funzionare ad una temperatura isotermica di 70°C. Integrazione elettronica e' stata impiegata con un cromatografo No.1700 a termoconduttività. E' stato fatto uso di un metodo di raggruppamento che richiede due miscele binarie primarie di biossido di carbonio ed azoto. Lo standard minimo e' stato di 7,01% di biossido di carbonio e lo standard massimo e' stato di 16,94% di biossido di carbonio.

Idrogeno in eccedenza su 55% e' stato determinato con il cromatografo A-350 che impiega elio come gas facente da veicolo. Il rapporto fra risposta positiva e risposta negativa e' stato usato come variabile indipendente in una regressione polinomia i cui dati sono stati ottenuti da campioni normalizzati nella buretta a gas di Hempel. Concentrazioni inferiori al 95% vengono determinate con una colonna 13X di settaccio molecolare in un cromatografo # A-90-P a termoconduttività. Si e' richiesto argo come gas facente da veicolo con polarità invertita per ottenere la

risposta positiva. Si e' fatto uso di integrazione elettronica e la deviazione strumentale e' stata misurata mediante una miscela binaria di 14,35% di idrogeno, il restante essendo costituito da argo.

Campioni normalizzati in buretta di Hempel sono stati usati per la taratura. Per l'intervallo fra 25 e 55%, e' stata determinata una regressione quadratica, mentre una regressione lineare e' stata valutata per concentrazioni di idrogeno inferiori al 25%.

COMPENDIO DELLE PROVE Sperimentali

Nelle Tabelle da I a V viene fornita una compilazione dei dati ottenuti dal funzionamento dell'impianto pilota 400.

TABELLA I

RIASSUNTO DI PROVE CONDOTTE A 1300°F (704,4°C)

Prova No.	1	2	3	4	5	6
Temperat.all'uscita,°F(°C)	1297(702,7)	1296(702,2)	1304(706,6)	1296(702,2)	1302(705,5)	1299(703,8)
Pressione operativa relativa,libb/pol ² (kg/cm ²)	1984 (1,39)	99,75(6,98)	199,0(13,93)	299,3(20,95)	400,0 (28)	500,0 (35)
Rapporto S/G	3,02	2,98	2,95	2,99	2,97	2,98
K _P della reazione di conversione (shift)	1,128	1,301	1,63	1,733	1,458	1,616
K _P della reazione di reforming	0,099	1,5291	3,211	5,862	4,488	5,301
Approssimazione della reazione di conversione,°F(°C)-134(-74,3)	-67(-37,1)	+34(18,8)	+49(27,2)	-13(-7,2)	+26(19,4)	21
Approssimazione dell'azione di reforming,°F (°C)	+259(144)	+127(70)	+94(52)	+51(28,3)	+72(40)	+60(33,3)
Conversione,%	36,2	44,4	41,7	40,9	34,2	32,9

COMPOSIZIONE DEL GAS PRODOTTO,% IN VOLUME CORRETTO

CO	5,3	6,2	4,9	4,5	4,0	3,5
CH ₄	27,3	21,3	22,9	23,4	28,9	30,0
CO ₂	10,2	10,8	11,5	11,7	11,0	11,2
H ₂	57,2	61,7	60,7	60,4	56,1	55,3

REAZIONE DI CONVERSIONE CON APPROXIMAZIONE DI 0°F(0°C)

REAZIONE DI REFORMING DI CH₄ CON APPROXIMAZIONE DI 50°F (27°C)

CO	11,2	7,8	5,9	4,9	4,3	3,9
CH ₄	4,2	12,9	19,2	23,4	26,6	29,1
CO ₂	10,2	11,2	11,4	11,4	11,2	11,1
H ₂	74,4	68,1	63,5	60,3	57,9	55,9

TABELLA I (continuazione)

Composizione del gas
all'equilibrio -

REAZIONE DI CONVERSIONE CON APPROSSIMAZIONE DI 0°F (°C)

REAZIONE DI REFORMING DI CH₄ CON APPROSSIMAZIONE DI 0°F (°C)

Prova No.	1	2	3	4	5	6
CO	12,0	9,0	7,1	6,0	5,3	4,8
CH ₄	2,5	9,4	15,1	19,0	21,9	24,4
CO ₂ ⁴	9,9	10,9	11,3	11,4	11,4	11,3
H ₂	75,6	70,7	66,5	63,6	61,4	59,5

Velocità spaziale = 2518 V/V/ora.

TABELLA II
RIASSUNTO DI PROVE CONDOTTE A 1400°F (760°C)

Prova No.	7	8	9	10	11	12
Temperat.all'uscita,°F(°C)	1400(760)	1397(758,3)	1397(758,3)	1401(760,5)	1402(761,1)	1400 (760)
Pressione operativa relativa,libb/poll ² (kg/cm ²)	19,82 (1,393)	99,0(6,96)	200,5(14,116)	299,83 (21,078)	400,6 (28,162)	500,0(35,15)
Rapporto S/G	2,99	2,99	3,01	3,02	2,97	2,98
K_p della reazione di conversione (shift)	0,918	0,865	1,244	1,242	1,225	1,299
K_p della reazione di reforming	1,629	7,61	1,681x10 ¹	1,895x10 ¹	1,8453x10 ¹	1,778x10 ¹
Approssimazione della reazione di conversione,°F(°C)-137(-76)	-173(-96)	+12((6,7)	+45(25)	-10(-5,5)	-34(-19)	1
Approssimazione dell'azione di reforming,°F(°C)	+228(126,5)	+135(+75)	+86(47,7)	+83(46)	+86(47,7)	-86(-47,7)
Conversione,%	69,3	60,0	55,85	50,1	44,4	40,8

COMPOSIZIONE DEL GAS PRODOTTO,% IN VOLUME CORRETTO

CO	11,6	10,4	8,0	7,1	6,3	5,5
CH ₄	9,1	13,0	14,7	17,8	21,3	23,7
CO ₂	8,9	9,1	10,6	10,8	10,7	10,9
H ₂	70,4	67,5	66,7	64,3	61,7	59,9

Rese previste

REAZIONE DI CONVERSIONE CON APPROXIMAZIONE DI 0°F (0°C)

REAZIONE DI REFORMING DI CH₄ CON APPROXIMAZIONE DI 50°F (27°C)

CO	13,7	11,2	9,2	7,9	7,1	6,5
CH ₄	1,4	6,8	11,9	15,6	18,4	20,7
CO ₂	8,7	9,7	10,3	10,5	10,7	10,7
H ₂	76,2	72,3	68,6	66,0	63,8	62,1

TABELLA II (continuazione)

Composizione del gas al-
l'equilibrio -

	REAZIONE DI CONVERSIONE CON APPROSSIMAZIONE DI 0°F (0°C)					
	REAZIONE DI REFORMING DI CH ₄ CON APPROSSIMAZIONE DI 0°F (0°C)					

Prova No.	7	8	9	10	11	12
CO	14,1	12,2	10,3	9,1	8,2	7,5
CH ₄	0,7	4,5	8,8	12,1	14,7	10,9
CO ₂	8,6	9,4	10,0	10,3	10,5	10,8
H ₂	76,6	73,9	70,9	68,5	66,6	65,0

Velocità spaziale = 2518 v/V/ora.

TABELLA III
RIASSUNTO DI PROVE CONDOTTE A 1500°F (815,6°C)

Prova No.	13	14	15	16	17
Temperat.all'uscita, °F, (°C)	1500 (815,6)	1496 (813,4)	1501(816,2)	1499(815,1)	1500(815,6)
Pressione operativa relativa, libb/poll ²					
(kg/cm ²)	20,0(1,4)	99,0(6,96)	200,3(14,08)	300,0(21,09)	399,6(28,1)
Rapporto S/G	3,04	3,0	2,98	2,92	2,97
K _P della reazione di conversione (shift)	0,865	0,919	0,9708	1,04	0,973
K _P della reazione di reforming	1,65	8,01x10 ¹	1,06x10 ²	1,630x10 ²	2,065x10 ²
Approssimazione della reazione di conversio- ne, °F (°C)	-70(-39)	-19(-10,5)	-6(-3,3)	+29(16)	-4 (-2,2)
Approssimazione della azione di reforming, °F (°C)	+327(181)	+79(43,8)	+54(30)	+29(16)	+13(7,2)
Conversione, %	69,8	84,6	79,7	74,1	67,7
COMPOSIZIONE DEL GAS PRODOTTO, % IN VOLUME CORRETTO					
CO	11,8	13,6	12,7	11,9	14,4
CH ₄	8,9	4,0	5,8	7,3	9,7
CO ₂	8,8	8,3	8,7	9,0	9,2
H ₂	70,5	74,3	72,3	71,8	70,0

-25

U. D. I. C. 100

TABELLA III (continuazione)

Rese previste -

REAZIONE DI CONVERSIONE CON APPROSSIMAZIONE DI 0°F (0°C)
REAZIONE DI REFORMING DI CH₄ CON APPROSSIMAZIONE DI 50°F (27°C)

Prova No.	13	14	15	16	17
CO	15,3	14,0	12,4	11,1	10,2
CH ₄	0,4	3,0	6,4	9,3	11,7
CO ₂	7,7	8,2	8,9	9,2	9,5
H ₂	76,6	74,8	72,4	70,3	68,6

Composizione del gas
all'equilibrio -

REAZIONE DI CONVERSIONE CON APPROSSIMAZIONE DI 0°F (0°C)

REAZIONE DI REFORMING DI CH₄ CON APPROSSIMAZIONE DI 0°F (0°C)

CO	15,3	14,5	13,3	12,2	11,3
CH ₄	0,2	1,8	4,4	6,8	8,9
CO ₂	7,7	8,0	8,5	8,9	9,2
H ₂	76,8	75,7	73,8	72,1	70,6

Velocità spaziale = 2518 V/V/ora.

TABELLA IV

RIASSUNTO DI PROVE CONDOTTE A 1600°F (871,1°C)

Prova No.	18	19	20	21	22
Temperat.all'uscita, °F (°C)	1600 (871,1)	1600 (871,1)	1600 (871,1)	1600 (871,1)	1600 (871,1)
Pressione operativa relativa, libb/poll ² (kg/cm ²)	20,3 (1,427)	100,0 (7,03)	199,4 (14)	297,0 (20,88)	398,6 (28,02)
Rapporto S/G	2,96	3,0	2,96	2,96	3,01
K della reazione di conversione (shift)	0,778	0,754	0,794	0,826	0,812
K della reazione di P reforming	6,156	$2,833 \times 10^2$	$5,887 \times 10^2$	$5,788 \times 10^2$	$7,71 \times 10^2$
Approssimazione della reazione di conver- sione, °F (°C)	-30 (-16,6)	-50 (-27,7)	-18 (-10)	+5 (2,7)	-5 (-2,7)
Approssimazione del- l'azione di reforming, °F (°C)	+351 (194,9)	+86 (47,7)	+28 (15,5)	+30 (16,6)	+5 (2,7)
Conversione, %	82,3	93,5	90,0	94,0	81,6

COMPOSIZIONE DEL GAS PRODOTTO, % IN VOLUME CORRETTO

CO	14,4	15,9	15,4	14,3	14,0
CH ₄	4,7	1,6	2,5	4,2	4,9
CO ₂	7,5	7,0	7,2	7,7	7,8
H ₂	73,4	75,5	75,9	73,8	73,3

TABELLA IV (continuazione)

Rese previste -

REAZIONE DI CONVERSIONE CON APPROXIMAZIONE DI 0°F (0°C)

Prova No.	REAZIONE DI REFORMING DI CH ₄ CON APPROXIMAZIONE DI 50°F (27°C)				
	18	19	20	21	22
CO	16,3	15,8	14,9	13,9	13,2
CH ₄	0,1	1,1	3,0	4,9	6,7
CO ₂	7,0	7,1	7,5	7,9	8,1
H ₂	76,6	76,0	76,0	73,3	72,0

Composizione del gas
all'equilibrio -

REAZIONE DI CONVERSIONE CON APPROXIMAZIONE DI 0°F (0°C)

REAZIONE DI REFORMING DI CH₄ CON APPROXIMAZIONE DI 50°F (27°C)

CO	16,3	16,0	15,4	14,7	14,0
CH ₄	0,1	0,6	1,9	3,3	4,8
CO ₂	6,9	7,1	7,3	7,6	7,8
H ₂	76,7	76,3	75,4	74,4	73,4

Velocità spaziale = 2518 V/V/ora.

TABELLA V

CALCOLI CAMPIONE PER LA PROVA No. 1

Medie dei campioni precedenti:

Temp. all'entrata °F (°C)	1301 (697,9)	(Termocoppie 410)
Temp. al centro °F (°C)	1223 (710)	(Termocoppie 411)
Temp. all'uscita °F (°C)	1297 (702,7)	(Termocoppie 412)

Pressione operativa relativa - 19,84 libb/poll² (1,39 kg/cm²) (2,35 At)

Alimentazione: HC - 674 piedi³/ora (19 m³/ora) (7,893 grammo moli. C_{1.04}H_{4.25} (gas naturale))
H₂O - 429,4 cc/ora (23,856 grammo moli.)
Rapporto - HC:H₂O - 1:3,02

Analisi del prodotto, % in volume

	Normalizzata	Moli di idrocarburo
	Senza azoto	
N ₂	0,3	
CO	5,4	0,1279
CH ₄	27,86	0,6633
CO ₂	10,5	0,2488
H ₂	55,94	

H₂ equilibrato

		% in volume corretto
CO	0,1279	5,3
CH ₄	0,6633	27,3
CO ₂	0,2488	10,2
H ₂	1,3883	57,2
H ₂ O	<u>2,3945</u>	
TOTALE	4,8228	

Conversione - 36,2%

$$H_1 = \frac{(0,2488 \times 1,3883)}{(0,1279 \times 2,3945)} = 1,128 \quad 1431^{\circ}\text{F} \quad (777,2^{\circ}\text{C})$$

$$H_2 = \frac{(0,1279 \times (1,3883)^3)}{(0,6633 \times (2,3945)} = \frac{2,35^2}{4,9228} = 0,099 \quad 1038^{\circ}\text{F} \quad (559^{\circ}\text{C})$$

Esempio 1

Produzione di formiato di nichel usando acido formico e perossido di idrogeno.

Due strisce ritorte di nichel ottenute dalla stessa fonte e del peso di 30 g sono state immerse ciascuna in 182 ml di acido formico al 90% in cilindri graduati da 250 ml. In un cilindro si sono aggiunti 12 ml di H_2O_2 al 30% (prova) ed al secondo cilindro si sono aggiunti 12 ml di acqua distillata (controllo). I cilindri sono stati lasciati in riposo per lo spazio di una notte in modo da raggiungere condizioni di equilibrio. Il campione in prova ha mostrato segni di reazione perche' si sono formate bolle, la soluzione e' passata ad un colore verde ed il cilindro si e' scaldato. Il campione di controllo non ha mostrato alcun segno di reazione. Le strisce di nichel sono state rimosse e le soluzioni sono state analizzate per stabilire la presenza di ioni nichel. La soluzione in prova conteneva 0,21% in peso di nichel, mentre la soluzione di controllo conteneva 0,003% in peso di nichel.

Da questo esperimento risulta evidente che non si ha la formazione di formiato di nichel quando strisce contenenti nichel vengono immerse in una soluzione concentrata di acido formico. Non

vi e' sostanzialmente alcuna reazione e solo una piccolissima quantità di nichel passa in soluzione.

Invece da una soluzione di acido formico e perossido di idrogeno si ha la deposizione sulla superficie di nichel di uno strato coprente di formiato di nichel.

Nella precedente descrizione e' chiaro che vi sono larghe possibilità di modificazioni, variazioni e sostituzioni e che in certi casi certe particolarità della presente invenzione verranno impiegate senza un corrispondente uso di altre particolarità. Pertanto e' opportuno che le allegate rivendicazioni vengano interpretate in senso lato ed in modo conforme allo spirito ed ambito della presente invenzione.

RIVENDICAZIONI

1. Processo per il reforming con vapor acqueo di idrocarburi in modo da ottenere un gas di sintesi ricco di idrogeno, il quale processo comprende il contatto di una miscela di un idrocarburo e vapor acqueo con un catalizzatore, detto catalizzatore essendo in relazione di scambio termico indiretto con una sorgente di calore, processo caratterizzato dal fatto di presentare il perfezionamento in base al quale detto catalizzatore

comprende una striscia allungata di nichel elementare che e' stata messa a contatto con perossido di idrogeno ed acido formico in quantità sufficienti a formare sulla striscia uno strato di formiato di nichel.

2. Processo per il reforming di idrocarburi con vapor acqueo il quale comprende

il contatto di una striscia allungata contenente nichel con perossido di idrogeno ed acido formico in modo tale che su detta striscia si forma uno strato di formiato di nichel;

il contatto dello strato di formiato di nichel con gli idrocarburi ed il vapor acqueo in presenza di una sorgente di calore in relazione di scambio termico indiretto, in modo che avviene una decomposizione del formiato di nichel nella quale si ha lo sviluppo di gas costituiti da idrogeno e biossido di carbonio, di modo che lo strato di nichel viene altamente attivato e gli idrocarburi ed il vapor acqueo reagiscono in modo da produrre un gas di sintesi ricco di idrogeno.

3. Catalizzatore per il reforming di idrocarburi con vapor acqueo il quale comprende:

una striscia allungata contenente nichel attivato adatta ad essere collocata in un tubo ri-

- 34 -

scaldato per accogliere gli idrocarburi ed il vapor acqueo in modo che gli idrocarburi ed il vapore acqueo reagiscono con produzione di un gas di sintesi ricco di idrogeno.

4. Catalizzatore per il reforming di idrocarburi con vapore acqueo secondo la rivendicazione 3, caratterizzato dal fatto che detta striscia e' modellata con una configurazione ritorta.

5. Catalizzatore per il reforming di idrocarburi con vapor acqueo secondo la rivendicazione 3, caratterizzato dal fatto che detta striscia e' sotto forma di un elemento centrale con elementi ramificati che si estendono radialmente da detto elemento centrale.

6. Catalizzatore per il reforming di idrocarburi con vapor acqueo secondo la rivendicazione 4, caratterizzato dal fatto che detta striscia e' sotto forma di una barra centrale, attorno a detta barra centrale essendo avvolto a spirale uno sbizzarrito piatto, in modo che in detto tubo si forma un passaggio elicoidale attraverso il quale fluiscono idrocarburi e vapor acqueo.

7. Catalizzatore per il reforming di idrocarburi con vapor acqueo secondo la rivendicazione 3, caratterizzato dal fatto che detta striscia ha una

configurazione attorta con un fattore Y compreso fra 1,8 e 3,0.

8. Processo per l'attivazione di un ca
talizzatore caratterizzato dal fatto di compre
dere:

il trattamento di una striscia allungata contenente nichel con una soluzione di acido formico e perossido di idrogeno in modo da depositare sulla striscia uno strato di formiato di nichel;

la decomposizione del formiato di nichel con una sorgente di calore in modo che avviene una decomposizione del formiato di nichel nella quale si sviluppano gas, così che lo strato di formiato di nichel viene altamente attivato.

9. processo secondo la rivendicazione 8,
caratterizzato dal fatto che la soluzione contiene da 20 a 95% in peso di acido formico al 90% e da 5 a 80% in peso di perossido di idrogeno.

10. Processo secondo la rivendicazione 8,
in cui la soluzione contiene da 80 a 90% in peso di acido formico al 90% e da 10 a 20% in peso di perossido di idrogeno al 30%.

11. Reattore per il reforming di idrocarburi con vapor acqueo, caratterizzato dal fatto di comprendere:

un recipiente;
una pluralità di tubi disposti in detto recipiente;
mezzi per riscaldare detti tubi; e
un catalizzatore contenente nichel sotto forma di una striscia allungata attivata collata in ciascuno di detti tubi, in modo che detti idrocarburi e detto — vapor acqueo possono passare attraverso detti tubi e reagire cataliticamente in modo da produrre un gas di sintesi ricco di idrogeno.

12. Reattore secondo la rivendicazione 11, caratterizzato dal fatto che il catalizzatore viene formato mediante il processo rivendicato nella rivendicazione 8.

13. Processo secondo la rivendicazione 11, caratterizzato dal fatto che il catalizzatore contenente nichel e' formiato di nichel.

Milano,

UFFICIO BREVETTI
Ing. GREGORI



l'Ufficiale Rogante
(Adilio Russo)

TRADUZIONE

03733

NORMALE UTILITA

24429 A/82

Mod. PTO-436
(Rev. 8/78)

Matr. No. 330540 (stampigliato)

(Serie del 1979)

Matr. No. 06/330.540 ; Data di deposito : 14/12/81

Classe : 252 ; Sezione : 126.

Richiedenti : JOSEPH F. MC MAHON, CLINTON, NJ;

PETTER STEINER, EDISON, NJ.

++DATI RELATIVI A CONTINUAZIONI++++++

VERIFICATO

LA DOMANDA È UNA CIP DELLA 06/249.208 DEL
30 MARZO 1981

CHE È UNA CON. DELLA 05/792.844 DEL
2 MAGGIO 1977

CHE È UNA DIV. DELLA 05/572.797 DEL
29 APRILE 1975

CHE È UNA CON. DELLA 05/267.793 DEL
30 GIUGNO 1972

(ABBANDONATA)

++DOMANDE DI BREVETTO ESTERO/SECONDO PCT++++

VERIFICATO

Rivendicazione di priorità estera () Sì () No

Risponde ai requisiti della 35 USC 119 () Sì () No

Verificato e riscontrato (sigla dell'esaminatore)

conforme a deposito ; Stato o Paese : NJ ; Fogli con

disegni : 3 ; Totale rivendicazioni : 13 ; Rivendi-

cazioni indip.: 5 ; Diritti di deposito riscossi:

§ 111 ; Numero di pratica del mandatario: 14530.

Indirizzo : MARVIN A. NAIGIR ESQ.
ESTER WHEELER ENERGY CORP.
110 S. ORANGE AVE.
LIVINGSTON,
NJ 07039

14.08.2020

(2020-08-14)

PLASTIC CONTAMINATION AND ITS MANAGEMENT

WORLD PLASTIC DAY

PLASTIC CONTAMINATION AND ITS MANAGEMENT

WORLD PLASTIC DAY

+++++ (PLASTIC CONTAMINATION AND ITS MANAGEMENT)

WORLD PLASTIC DAY

PLASTIC CONTAMINATION AND ITS MANAGEMENT

WORLD PLASTIC DAY

PLASTIC CONTAMINATION AND ITS MANAGEMENT

WORLD PLASTIC DAY

PLASTIC CONTAMINATION AND ITS MANAGEMENT

WORLD PLASTIC DAY

(WORLD PLASTIC DAY)

+++++ (PLASTIC CONTAMINATION AND ITS MANAGEMENT) +++

WORLD PLASTIC DAY

PLASTIC CONTAMINATION AND ITS MANAGEMENT
WORLD PLASTIC DAY

PLASTIC CONTAMINATION AND ITS MANAGEMENT
WORLD PLASTIC DAY

PLASTIC CONTAMINATION AND ITS MANAGEMENT
WORLD PLASTIC DAY

Titolo : PROCESSO DI REFORMING CATALITICO CON
VAPORE ACQUEO

(Sigillo rosso
con nastrino
azzurro)

Si certifica che l'allegato è copia
autentica, tratta dagli atti dell'Ufficio
Statunitense dei Brevetti e dei Marchi
Commerciali, della domanda innanzi
richiamata così come è stata depositata
in origine.

Per delega del

COMMISSARIO BREVETTI E MARCHI COMMERCIALI

(f.to) N. R. Fleming

Ufficiale certificatore

Data : 1° NOV 1982 (datario lineare)

(Datario rotondo
con la data del
14 DIC 1981)

ORIGINALE LEGALMENTE VALIDO

330540

(stampigliato)

PROCESSO DI REFORMING CATALITICO CON VAPORE ACQUEO

ESTRATTO DELLA DESCRIZIONE

Si realizza un catalizzatore per il reforming di
idrocarburi con vapore acqueo, il quale è costituito
da un catalizzatore che contiene nichel ed ha forma
di striscia allungata attivata.

2016-01-20 10:00:00 2016-01-20 10:00:00

0 0 0 0 0 0

0 0 0 0 0 0

0 0 0 0 0 0

0 0 0 0 0 0

0 0 0 0 0 0

0 0 0 0 0 0

0 0 0 0 0 0

0 0 0 0 0 0

0 0 0 0 0 0

0 0 0 0 0 0

0 0 0 0 0 0

0 0 0 0 0 0

0 0 0 0 0 0

0 0 0 0 0 0

0 0 0 0 0 0

0 0 0 0 0 0

0 0 0 0 0 0

0 0 0 0 0 0

0 0 0 0 0 0

0 0 0 0 0 0

0 0 0 0 0 0

0 0 0 0 0 0

0 0 0 0 0 0

0 0 0 0 0 0

0 0 0 0 0 0

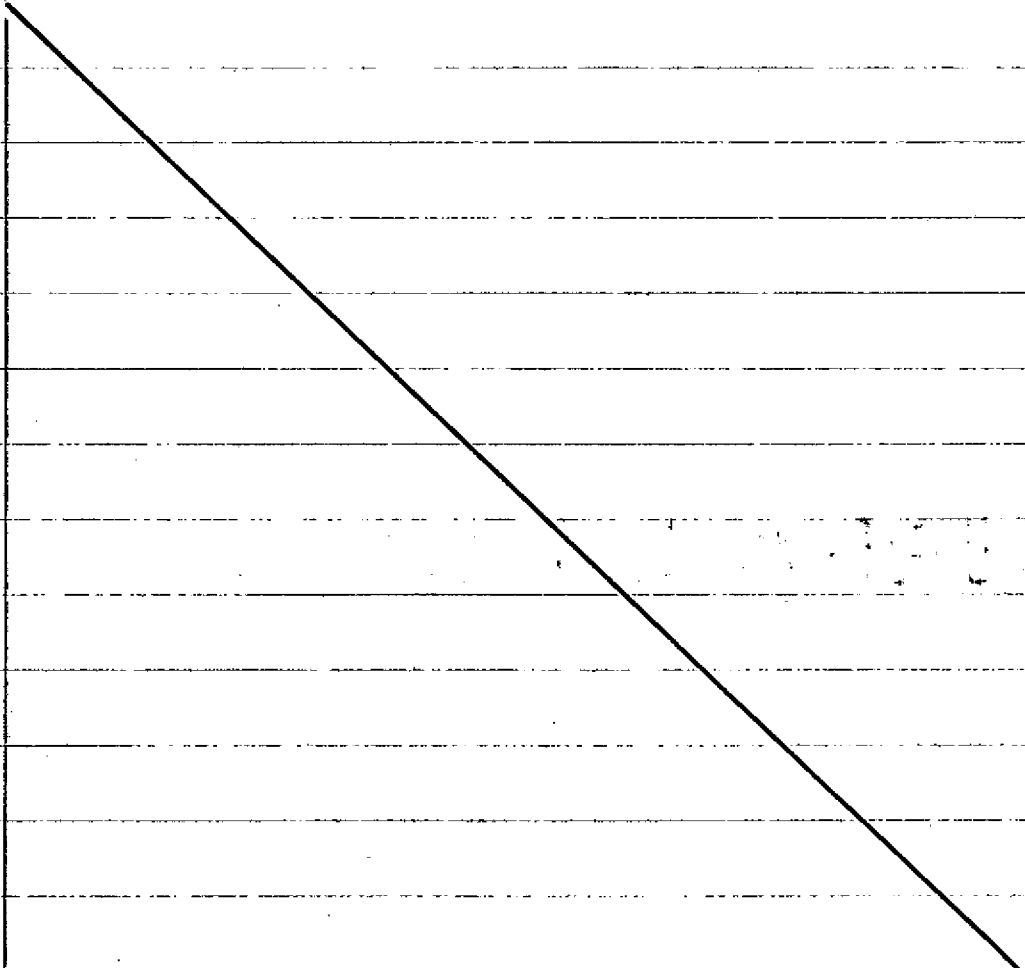
0 0 0 0 0 0

RICHIAMO A DOMANDE CORRELATE

La presente domanda è una continuazione-in-parte della Domanda No. 249.208 depositata il 30 marzo 1981, la quale era una continuazione della 792.844 depositata il 2 maggio 1977, la quale era una divisione della No. 572.797 depositata il 29 aprile 1975, che a sua volta è una continuazione della No. 267.793 depositata il 30 giugno 1972 e ora abbandonata.

PROFILO TECNOLOGICO DELLA INVENZIONE

Nei procedimenti commerciali per il reforming degli idrocarburi con vapore d'acqua sono generalmente predisposti tubi di reforming riempiti con un catalizza-



tore di tipo granulare. Gli idrocarburi, come metano, gas naturale o un materiale di alimentazione più pesante, vengono messi a contatto con il catalizzatore unitamente ad una sorgente di calore in modo da ottenere gas di sintesi. In pratica e' stato seguito il sistema generale di creare un catalizzatore di forma granulare che viene sistemato entro i tubi i quali sono costituiti da tubo di diametro relativamente piccolo per ragioni connesse al trasferimento di calore ed alla pressione. In sistemi di questo tipo e' necessario consumare una quantità notevole di energia per poter pompare i gas reagenti attraverso il letto di catalizzatore granulare. Allo scopo di risolvere questo problema connesso con i processi di reforming con vapore acqueo della tecnica del passato, in conformità con la presente invenzione e' stato realizzato un catalizzatore che viene fatto aderire saldamente ad una striscia metallica che e' collocata amovibilmente entro i tubi attraverso i quali fluisce la corrente di processo. E' stato proposto di torcere la striscia metallica facendole assumere una configurazione elicoidale tale che la relazione intercorrente fra superficie catalitica e desiderata velocità della corrente di processo puo' essere controllata variando la torsione ad elica della striscia metallica. Inol-

tre il grado di torcitura o numero di torsioni formate lungo la striscia puo' essere calcolato in funzione del rapporto di trasferimento di calore alle pareti dei tubi. Inoltre, sostituendo il precedente sistema a base di catalizzatore granulare con la striscia ritorta della presente invenzione, e' possibile diminuire notevolmente la caduta di pressione attraverso il sistema. La limitazione attualmente esistente in merito ai diametri minimi dei tubi, limitazione che e' imposta dalla natura granulare del catalizzatore, non si rende più necessaria quando si impiega la presente invenzione che contempla una striscia di catalizzatore, rendendo in tal modo possibile progettare apparati di reforming con vapore acqueo che operino a pressioni più elevate di quanto non sia stato sinora possibile. Così, la presente invenzione rende possibile sottoporre a reforming i materiali di alimentazione grazie alla possibilità di una più facile manipolazione del catalizzatore.

COMPENDIO DELL'INVENZIONE

In conformità con pratiche realizzazioni illustrate dimostranti aspetti e vantaggi della presente invenzione viene attuato un processo, un apparato ed un catalizzatore per il reforming di

idrocarburi con vapor acqueo. Il processo di reforming comprende il contatto degli idrocarburi con un catalizzatore contenente nichel, catalizzatore sotto forma di una striscia allungata attivata, in relazione di scambio termico indiretto con una sorgente di calore. L'apparato costituente il reattore di reforming comprende un recipiente in cui e' sistemata una pluralità di tubi. Sono predisposti sistemi per riscaldare i tubi ed un catalizzatore contenente nichel sotto forma di una striscia allungata attivata viene collocato in ciascuno dei tubi in modo tale che gli idrocarburi ed il vapor acqueo possono passare attraverso i tubi e reagire cataliticamente. Il catalizzatore consiste in un catalizzatore contenente nichel sotto forma di una striscia allungata attivata atta ad essere collocata in un tubo riscaldato destinato ad accogliere gli idrocarburi ed il vapor acqueo. In questo modo gli idrocarburi reagiscono con il vapor acqueo con produzione di un gas di sintesi ricco di idrogeno.

BREVE DESCRIZIONE DEI DISEGNI

La precedente breve descrizione, così come ulteriori scopi, aspetti e vantaggi della presente invenzione potranno essere più completa

mente apprezzati facendo riferimento alla seguente descrizione particolareggiata di una pratica forma realizzativa presentemente preferita, ma peraltro puramente illustrativa, conforme alla presente invenzione, quando considerata sulla scorta degli allegati disegni, in cui:

la figura 1 e' una vista schematica in elevazione frontale di un recipiente costituente il reattore;

la figura 2 e' una vista in elevazione di una striscia metallica piana sostenuta ad un'estremità, la freccia all'estremità opposta indicando il processo di torcitura;

la figura 3 e' una vista in prospettiva, simile alla figura 2, di una coppia di strisce metalliche perpendicolari;

la figura 4 e' una vista schematica in elevazione di un tubo ingrandito per mostrare più chiaramente la configurazione della striscia costituente il catalizzatore;

la figura 5 e' una vista in sezione ingrandita di un tubo per il reforming simile a quello della figura 4, ma con tre strisce sistemate entro il tubo;

la figura 6 e' una vista in sezione

di una ulteriore forma realizzativa della presente invenzione che mostra un serpantino ed una barra rotonda collocati in un tubo di reforming;

la figura 7 e' una vista in elevazione di una striscia formata con elementi costituenti delle ramificazioni; e

la figura 8 e' uno schema del ciclo operativo di un impianto pilota per attuare il processo di reforming con vapore acqueo della presente invenzione.

DESCRIZIONE DELLA PREFERITA FORMA

REALIZZATIVA

Facendo ora riferimento specificamente ai disegni, nella figura 1 viene rappresentato schematicamente un recipiente facente da reattore 10, creato con una camera interna 12 definita da una parete rettangolare 14. Un materiale di alimentazione F costituito da una miscela di idrocarburo e vapor acqueo viene fatto passare nel recipiente 10 costituente il reattore per il tramite di un condotto di entrata 16 che e' collocato all'esterno del recipiente 10 in comunicazione di flusso con la camera interna 12. E' preferibile impiegare un materiale di alimentazione idrocarburico come metano o gas naturale, ma si deve tenere ben presente che

l'invenzione in parola e' anche applicabile ad idrocarburi più pesanti.

Una pluralità di tubi 20 e' disposta nella camera interna 12 ed il condotto di entrata 16 e' collegato ai tubi 20 per convogliare il materiale di alimentazione F ai tubi 20. Dispositivi per riscaldare i tubi 20 sono contraddistinti dalle frecce direzionali 22. Un catalizzatore contenente nichel attivato sotto forma di un turbolatore o elemento provocante turbolenza 24 viene collocato in ciascuno dei tubi 20. In questo modo, il materiale di alimentazione passa nei tubi 20 e gli idrocarburi ed il vapor acqueo, quando portati in relazione di scambio termico indiretto con la sorgente di calore 22, reagiscono in presenza del turbolatore 24 cataliticamente attivo in modo che ivi si produce un gas di sintesi ricco di idrogeno indicato dalle frecce direzionali 26, gas che viene convogliato fuori dalla camera interna 12 per mezzo di un condotto di uscita 28 che e' collegato in comunicazione di flusso con i tubi 20. I turbolatori 24 sono mantenuti in posizione fissa nei tubi 20 per mezzo di un gancio a molla superiore 30 ed un gancio a molla inferiore 32 che sono collocati in corrispondenza delle rispettive porzioni superiore ed inferiore dei tubi 20. Come si

vede nel migliore dei modi in figura 4, i turbolatori 24 sono creati con aperture 34 per accogliere i ganci a molla 30 e 32.

Si deve notare che se precedentemente lavorata a freddo, la superficie di nichel dei turbolatori 24 puo' essere attivata mediante vapore durante il periodo iniziale del processo di reforming grazie al calore proveniente dalla sorgente 22.

Facendo riferimento alle figure 2 e 3 si puo' vedere che il turbolatore 24 viene formato lavorando a freddo uno sbozzato traciato come lo sbozzato 36 di forma planare ed uno sbozzato 40 ad esso perpendicolare. Cosi lo sbozzato piatto 36 e lo sbozzato perpendicolare 40 vengono fissati in corrispondenza delle loro estremità inferiori e vengono ritorti attraverso una serie di rotazioni a 180° come indicato dalle frecce direzionali circolari T. In questo modo e' possibile formare la striscia 24 che funge da turbolatore con tipi vari di configurazione. Per ragioni di semplicità il turbolatore incrociato formato dallo sbozzato 40 non e' mostrato nella sua posizione quale collocato nel tubo 20 di reforming. Pertanto, il turbolatore 24 che e' formato dallo sbozzato piatto 36 presenta una forma generalmente sinusoidale che viene formata torcendo lo sbozzato 36 attraz-

verso la serie di torsioni T a 180°. Come si vede nella figura 4 l'effettiva configurazione di ciascuna torsione T a 180° per il turbolatore 24 e' stabilita da un fattore Y che e' determinato dalla lunghezza L della torsione T divisa per il diametro D del tubo 20. Il fattore Y deve essere compreso fra 1,8 e 3,0 e preferibilmente deve essere di 2,6 per ottenere risultati ottimali nel sistema di reforming.

Nella figura 5 viene illustrata un'altra forma realizzativa della presente invenzione in cui parti corrispondenti sono state contrassegnate dagli stessi numeri di riferimento come parte di una serie di "100". In questa forma della presente invenzione si vede un tubo 120 di reforming destinato a sostenere catalizzatore contenente nichel elementare sotto forma di una pluralità di turbolatori 124 attivati. In questo modo, il materiale di alimentazione passa nei tubi 120 e gli idrocarburi ed il vapor acqueo quando messi in relazione di scambio termico indiretto con la sorgente di calore registrano cataliticamente con i turbolatori 124 in modo che si produce un gas di sintesi ricco di idrogeno. I tre turbolatori 124 illustrati nella figura 5 vengono mantenuti in posizione fissa entro i tubi 120 per mezzo di ganci a molla superiori 130 e ganci a molla inferiori,

che non sono indicati nei disegni, ganci che sono collocati nelle rispettive porzioni superiore ed inferiore del tubo 120.

Nella figura 6 viene illustrata una ulteriore forma realizzativa della presente invenzione nella quale parti corrispondenti sono state contrassegnate dagli stessi numeri di riferimento come parte di una serie di "200". In questa forma della presente invenzione si vede un tubo 220 di reforming destinato a sostenere il catalizzatore contenente nichel sotto forma di un turbolatore attivato 224 che e' avvolto a serpantino attorno ad una barra tonda 225. Il turbolatore 224 e' saldato alla barra 225 in modo che si forma un passaggio elicoidale fra il turbolatore 224 e le pareti interne del tubo 220 come indicato dalle frecce direzionali elicoidali H. In questo modo il materiale di alimentazione passa nei tubi 220 e gli idrocarburi ed il vapore acqueo quando messi in relazione di scambio termico indiretto con la sorgente di calore reagiscono cataliticamente con i turbolatori 224 in modo che ivi si produce un gas di sintesi ricco di idrogeno. Il turbolatore 224 e la barra 225 indicati nella figura 6 vengono mantenuti in posizione fissa entro i tubi 220 per mezzo di ganci a molla superiori 230 e ganci a molla inferiori 231.

la inferiori 232 che sono posti in corrispondenza delle rispettive porzioni superiore ed inferiore dei tubi 220.

Nella figura 7 viene illustrata una ulteriore forma realizzativa della presente invenzione in cui parti corrispondenti sono state contrassegnate con gli stessi numeri di riferimento come parte di una serie di "300". In questa forma della presente invenzione viene illustrato un tubo 320 di reforming per sostenere il catalizzatore contenente nichel sotto forma di un turbolatore attivato 324 costituito da una barra recante elementi costituenti ramificazioni. Il turbolatore 324 include una barra centrale 325 sulla quale sono saldati elementi 327 costituenti appunto delle ramificazioni. In questo modo il materiale di alimentazione passa nei tubi 320 e gli idrocarburi ed il vapor acqueo quando messi in relazione di scambio termico indiretto con la sorgente di calore reagiscono cataliticamente con i turbolatori 324 in modo che ivi si produce un gas di sintesi ricco di idrogeno. Il turbolatore 324 costituito da una barra recante delle ramificazioni, quale illustrato nella figura 7, viene mantenuto in posizione fissa nei tubi 320 per mezzo di ganci a molla superiori 330 e ganci a molla inferiori 332 che sono

collocati in corrispondenza delle rispettive parti superiore ed inferiore dei tubi 320.

Per quanto la reazione che fa uso di un catalizzatore a base di formiato di nichel possa essere condotta con catalizzatore presentante una varietà di configurazioni come descritto, le strisce ritorte di nichel danno i risultati più vantaggiosi. La reazione di reforming procede nel modo più efficace con le strisce ritorte contenenti nichel per via delle migliori velocità spaziali attraverso il tubo di reazione rispetto al caso in cui i reagenti a base di nichel hanno la forma di strisce diritte. Reattori che fanno uso di strisce ritorte presentano una bassa caduta di pressione (da 1% a 4% rispetto ai normali apparati di reforming con letto costipato) ed assicurano un elevato trasferimento di calore. Inoltre, essi risultano vantaggiosi per via del minor costo dei necessari elementi soffianti, del minor costo di lavorazione e della facilità di controllo.

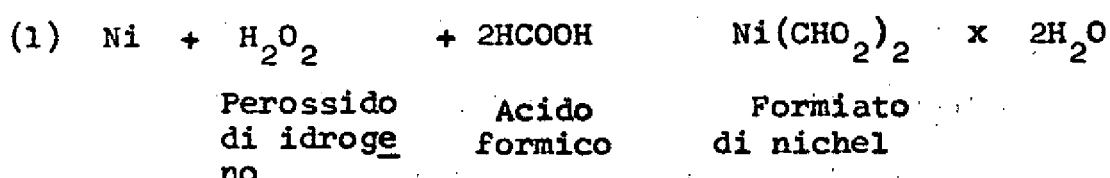
In conformità con la presente invenzione, i turbolatori di nichel 24, 124, 224 e 324 possono essere attivati mediante un processo di lavorazione a freddo, oppure mediante un processo di attivazione con acido formico.

Il processo di lavorazione a freddo

implica un certo tipo di deformazione fisica in condizioni ambientali caratterizzate sostanzialmente da temperatura normale. Così il processo di lavorazione a freddo potrebbe comprendere la torsione di una striscia di nichel elementare come uno sbozzato 36, alla temperatura ambiente, in modo tale che si puo' ottenere la risultante configurazione rappresentata nelle figure 4, 5 e 6. Inoltre, il turbolatore di figura 7 presentante elementi ramificati, potrebbe essere ottenuto mediante procedimenti a freddo di lavorazione, piegatura o allungamento. Sottoponendo in tal modo a torsione lo sbozzato 36 si creano sollecitazioni e l'uso iniziale del turbolatore 24 nel tubo 20 di reforming causerà ricristallizzazione del nichel elementare accompagnata da un aumento della grossezza del grano. Il risultato di questi processo di lavorazione a freddo e' una superficie catalitica di nichel altamente attiva che puo' essere impiegata in operazioni di reforming con vapor acqueo.

Il processo di attivazione con acido formico comprende due stadi. Il primo stadio richiede la formazione di uno strato di formiato di nichel sulla superficie delle strisce di nichel, il secondo stadio richiede l'esposizione della striscia con il suo rivestimento di formiato di nichel all'azione

del calore in modo da decomporre il rivestimento e produrre un catalizzatore di nichel altamente attivato. Nel primo stadio la striscia di nichel, sotto forma di uno sbizzarzo o tranciato 36, viene immersa in una miscela di acido formico e perossido di idrogeno, e si verifica la seguente reazione chimica:



Parti del nichel si sciogliono in questa soluzione e sulla striscia si deposita uno strato sottile di formiato di nichel.

Il secondo stadio puo' essere attuato collocando nell'impianto di reforming la striscia trattata ottenuta dal primo stadio. Sotto l'azione del calore si verifica una decomposizione del formiato di nichel nella quale si sviluppano gas costituiti da idrogeno e di ossido di carbonio. Questa reazione forma uno strato di nichel altamente attivato che presenta una maggiore superficie specifica, in conformita con la seguente reazione chimica:



L'aumento nella superficie specifica ovverossia area superficiale e' dovuto alla trasformazione di una superficie compatta e relativamente

liscia in una superficie irregolare e porosa dopo il processo di attivazione con acido formico.

Si e' trovato che il nichel attivato si produce quando le strisce contenenti nichel vengono immerse in una soluzione di perossido di idrogeno ed acido formico. Strisce contenenti nichel che non sono trattate o sono trattate solamente con acido formico non mostrano la capacità ad agire come efficaci catalizzatori di reforming con vapore acqueo. Il perossido di idrogeno si rende necessario nella reazione di attivazione perche' l'acido formico non e' di per se' stesso un agente ossidante abbastanza forte da creare il catalizzatore desiderato. Solamente con l'aggiunta di un ossidante come perossido di idrogeno, l'acido formico agisce sulle strisce di nichel in modo da produrre, come desiderato, il formiato di nichel.

La soluzione di acido formico e perosido di idrogeno puo' essere costituita da 20-95% in peso di acido formico al 90% e 5-80% in peso di perossido di idrogeno al 30%. Di preferenza la soluzione contiene da 80% a 90% in peso di acido formico al 90% e da 10% a 20% in peso di perossido di idrogeno al 30%.

Facendo riferimento ora alla figura 8,

in tale figura si vede un impianto pilota genericamente indicato con 400 per effettuare procedimenti di reforming con vapor acqueo usando un catalizzatore contenente nichel elementare sotto forma di un turbolatore 402. Il turbolatore 402 viene conformemente collocato in un tubo 404 di reforming che presenta una bocca di entrata 406 ed una bocca di uscita 408. Due termocoppie 410 sono collegate dall'entrata 406 all'estremità del turbolatore 402, una termocoppia 411 è collocata in corrispondenza di metà del turbolatore 402, ed un'altra coppia di termocoppie 412 è collegata dall'uscita 403 all'altra estremità del turbolatore 402. Il tubo 404 di reforming è dotato di due batterie di riscaldatori elettrici 414 ciascuna delle quali include tre elementi a resistenza 416 collegati ad un dispositivo di controllo ed indicazione della temperatura 418 e ad un trasformatore variabile 420 per fornire corrente alternata con una tensione di 208 volt. Il materiale di alimentazione viene fatto pervenire al tubo di reforming 404 attraverso una linea di alimentazione 422 che crea un collegamento fra l'entrata 406 ed una bobola di metano 424 per fornire materiale di alimentazione. La linea di alimentazione 422 dopo aver lasciato la bombola di metano 424 è dotata di un indicatore di

flusso 428, una valvola di controllo 430 ed un regolatore 432 della pressione. Nella linea di alimentazione 422 sono pure disposti un elemento di assorbimento 434 dello zolfo e costituito da un letto di carbone, ed un bagno salino 436. Il bagno salino 436 include un recipiente 438 destinato a mantenere un sale fuso in relazione di scambio termico indiretto con il serpantino 440. Un serbatoio 442 per acqua ed una pompa 444 sono collegati alla linea di alimentazione 422 in modo tale che il materiale di alimentazione proveniente dalla bombola 424 possa formare una miscela con vapor acqueo. Il materiale di alimentazione ed il vapor acqueo nel tubo 404 di reforming vengono messi in scambio termico indiretto con i riscaldatori 416 e reagiscono in presenza del turbolatore 402 cataliticamente attivo in modo che si forma un gas di sintesi ricco di idrogeno dopo di che vengono fatti passare attraverso l'uscita 408 in una linea di scarico 442. Il gas di sintesi proveniente dalla linea di scarico 442 viene raffreddato, separato e campionato in modo tradizionale.

Si deve comprendere che il processo per l'attivazione del catalizzatore conforme alla presente invenzione puo' essere attuato depositando uno strato di composto contenente nichel sulla superficie di una

striscia allungata come lo sbozzato planare 36 o lo sbozzato perpendicolare 40. Il composto contenente nichel viene poi decomposto sottoponendolo all'azione di una sorgente di calore. In questo modo si verifica una decomposizione del composto di nichel nella quale si ha sviluppo di gas e grazie alla quale lo strato di composto di nichel viene altamente attivato.

Al fine di descrivere ed illustrare più chiaramente i vantaggi della presente invenzione si fa riferimento ai seguenti specifici esempi realizzati con l'impianto pilota 400.

PROCEDIMENTO ANALITICO

E' stata effettuata un'analisi per la determinazione di azoto, metano, monossido di carbonio ed etano usando un cromatografo A-350 con rivelatore di termocondutività. Il materiale di riempimento della colonna era costituito da gel di silice che e' stato tarato mediante campioni normalizzati preparati in una buretta a gas di Hempel.

Per ciascuna taratura viene usata una equazione regressiva lineare ed eventuale deviazione strumentale sistematica viene eliminata mediante un gas di standardizzazione a normalizzazione costituito da azoto che consente il calcolo di un fattore di correzione. La colonna analitica e' stata mantenuta in

condizioni di funzionamento isotermico a 33°C. Per i suddetti composti vengono usate misurazioni dell'altezza dei picchi con una correzione per l'appropriata attenuazione.

L'analisi per biossido di carbonio e' stata pure effettuata con una colonna di gel di silice che e' stata fatta funzionare ad una temperatura isotermica di 70°C. Integrazione elettronica e' stata impiegata con un cromatografo No.1700 a termoconduttività. E' stato fatto uso di un metodo di raggruppamento che richiede due miscele binarie primarie di biossido di carbonio ed azoto. Lo standard minimo e' stato di 7,01% di biossido di carbonio e lo standard massimo e' stato di 16,94% di biossido di carbonio.

Idrogeno in eccedenza su 55% e' stato determinato con il cromatografo A-350 che impiega elio come gas facente da veicolo. Il rapporto fra risposta positiva e risposta negativa e' stato usato come variabile indipendente in una regressione polinomia i cui dati sono stati ottenuti da campioni normalizzati nella buretta a gas di Hempel. Concentrazioni inferiori al 95% vengono determinate con una colonna 13X di settaccio molecolare in un cromatografo # A-90-P a termoconduttività. Si e' richiesto argo come gas facente da veicolo con polarità invertita per ottenere la

risposta positiva. Si e' fatto uso di integrazione elettronica e la deviazione strumentale e' stata misurata mediante una miscela binaria di 14,35% di idrogeno, il restante essendo costituito da argo.

Campioni normalizzati in buretta di Hempel sono stati usati per la taratura. Per l'intervallo fra 25 e 55%, e' stata determinata una regressione quadratica, mentre una regressione lineare e' stata valutata per concentrazioni di idrogeno inferiori al 25%.

COMPENDIO DELLE PROVE Sperimentali

Nelle Tabelle da I a V viene fornita una compilazione dei dati ottenuti dal funzionamento dell'impianto pilota 400.

TABELLA I

RIASSUNTO DI PROVE CONDOTTE A 1300°F (704,4°C)

Prova No.	1	2	3	4	5	6
Temperat.all'uscita,°F(°C)	1297(702,7)	1296(702,2)	1304(706,6)	1296(702,2)	1302(705,5)	1299(703,8)
Pressione operativa relativa,libb/poll ² (kg/cm ²)	1984 (1,39)	99,75(6,98)	199,0(13,93)	299,3(20,95)	400,0 (28)	500,0 (35)
Rapporto S/G	3,02	2,98	2,95	2,99	2,97	2,98
K _P della reazione di conversione (shift)	1,128	1,301	1,63	1,733	1,458	1,616
K _P della reazione di reforming	0,099	1,5291	3,211	5,862	4,488	5,301
Approssimazione della reazione di conversione,°F(°C)-134(-74,3)	-67(-37,1)	+34(18,8)	+49(27,2)	-13(-7,2)	+26(19,4)	21
Approssimazione dell'azione di reforming,°F (°C)	+259(144)	+127(70)	+94(52)	+51(28,3)	+72(40)	+60(33,3)
Conversione,%	36,2	44,4	41,7	40,9	34,2	32,9

COMPOSIZIONE DEL GAS PRODOTTO,% IN VOLUME CORRETTO

CO	5,3	6,2	4,9	4,5	4,0	3,5
CH ₄	27,3	21,3	22,9	23,4	28,9	30,0
CO ₂	10,2	10,8	11,5	11,7	11,0	11,2
H ₂	57,2	61,7	60,7	60,4	56,1	55,3

Rete previste REAZIONE DI CONVERSIONE CON APPROXIMAZIONE DI 0°F(0°C)

REAZIONE DI REFORMING DI CH₄ CON APPROXIMAZIONE DI 50°F (27°C)

CO	11,2	7,8	5,9	4,9	4,3	3,9
CH ₄	4,2	12,9	19,2	23,4	26,6	29,1
CO ₂	10,2	11,2	11,4	11,4	11,2	11,1
H ₂	74,4	68,1	63,5	60,3	57,9	55,9

TABELLA I (continuazione)

Composizione del gas
all'equilibrio -

REAZIONE DI CONVERSIONE CON APPROXIMAZIONE DI 0°F (0°C)

REAZIONE DI REFORMING DI CH₄ CON APPROXIMAZIONE DI 0°F (0°C)

Prova No.

	1	2	3	4	5	6
CO	12,0	9,0	7,1	6,0	5,3	4,8
CH ₄	2,5	9,4	15,1	19,0	21,9	24,4
CO ₂	9,9	10,9	11,3	11,4	11,4	11,3
H ₂	75,6	70,7	66,5	63,6	61,4	59,5

Velocità spaziale = 2518 V/V/ora.

TABELLA II
RIASSUNTO DI PROVE CONDOTTE A 1400°F (760°C)

Prova No.	7	8	9	10	11	12
Temperat.all'uscita, °F (°C)	1400 (760)	1397 (758,3)	1397 (758,3)	1401 (760,5)	1402 (761,1)	1400 (760)
Pressione operativa relativa, libb/poll ² (kg/cm ²)	19,82 (1,393)	99,0 (6,96)	200,5 (14,116)	299,83 (21,078)	400,6 (28,162)	500,0 (35,15)
Rapporto S/G	2,99	2,99	3,01	3,02	2,97	2,98
K _P della reazione di conversione (shift)	0,918	0,865	1,244	1,242	1,225	1,299
K _P della reazione di reforming	1,629	7,61	1,681x10 ¹	1,895x10 ¹	1,8453x10 ¹	1,778x10 ¹
Approssimazione della reazione di conversione, °F (°C)	-137 (-76)	-173 (-96)	+12 (6,7)	+45 (25)	-10 (-5,5)	-34 (-19)
Approssimazione dell'azione di reforming, °F (°C)	+228 (126,5)	+135 (+75)	+86 (47,7)	+83 (46)	+86 (47,7)	-86 (-47,7)
Conversione, %	69,3	60,0	55,85	50,1	44,4	40,8

COMPOSIZIONE DEL GAS PRODOTTO, % IN VOLUME CORRETTO

CO	11,6	10,4	8,0	7,1	6,3	5,5
CH ₄	9,1	13,0	14,7	17,8	21,3	23,7
CO ₂	8,9	9,1	10,6	10,8	10,7	10,9
H ₂	70,4	67,5	66,7	64,3	61,7	59,9

Rese previste

REAZIONE DI CONVERSIONE CON APPROSSIMAZIONE DI 0°F (0°C)

REAZIONE DI REFORMING DI CH₄ CON APPROSSIMAZIONE DI 50°F (27°C)

CO	13,7	11,2	9,2	7,9	7,1	6,5
CH ₄	1,4	6,8	11,9	15,6	18,4	20,7
CO ₂	8,7	9,7	10,3	10,5	10,7	10,7
H ₂	76,2	72,3	68,6	66,0	63,8	62,1

TABELLA II (continuazione)

Composizione del gas all'equilibrio -

REAZIONE DI CONVERSIONE CON APPROSSIMAZIONE DI 0°F (0°C)
REAZIONE DI REFORMING DI CH₄ CON APPROSSIMAZIONE DI 0°F (0°C)

Prova No.	7	8	9	10	11	12
CO	14,1	12,2	10,3	9,1	8,2	7,5
CH ₄	0,7	4,5	8,8	12,1	14,7	10,9
CO ₂	8,6	9,4	10,0	10,3	10,5	10,8
H ₂	76,6	73,9	70,9	68,5	66,6	65,0

Velocità spaziale = 2518 v/V/ora.

TABELLA III
RIASSUNTO DI PROVE CONDOTTE A 1500°F (815,6°C)

Prova No.	13	14	15	16	17
Temperat.all'uscita, °F, (°C)	1500 (815,6)	1496 (813,4)	1501(816,2)	1499(815,1)	1500(815,6)
Pressione operativa relativa, libb/poll (kg/cm ²)	20,0(1,4)	99,0(6,96)	200,3(14,08)	300,0(21,09)	399,6(28,1)
Rapporto S/G	3,04	3,0	2,98	2,92	2,97
K _P della reazione di conversione (shift) 0,865	0,919	0,9708	1,04	0,973	
K _P della reazione di reforming 1,65	8,01x10 ¹	1,06x10 ²	1,630x10 ²	2,065x10 ²	
Approssimazione della reazione di conversio- ne, °F (°C)	-70(-39)	-19(-10,5)	-6(-3,3)	+29(16)	-4 (-2,2)
Approssimazione della azione di reforming, °F (°C)	+327(181)	+79(43,8)	+54(30)	+29(16)	+13(7,2)
Conversione, %	69,8	84,6	79,7	74,1	67,7
COMPOSIZIONE DEL GAS PRODOTTO, % IN VOLUME CORRETTO					
CO	11,8	13,6	12,7	11,9	14,4
CH ₄	8,9	4,0	5,8	7,3	9,7
CO ₂	8,8	8,3	8,7	9,0	9,2
H ₂	70,5	74,3	72,3	71,8	70,0

TABELLA III (continuazione)

Rese previste -

	REAZIONE DI CONVERSIONE CON APPROSSIMAZIONE DI 0°F (0°C)				
	REAZIONE DI REFORMING DI CH ₄ CON APPROSSIMAZIONE DI 50°F (27°C)				

Prova No.	13	14	15	16	17
CO	15,3	14,0	12,4	11,1	10,2
CH ₄	0,4	3,0	6,4	9,3	11,7
CO ₂	7,7	8,2	8,9	9,2	9,5
H ₂	76,6	74,8	72,4	70,3	68,6

Composizione del gas
all'equilibrio -

	REAZIONE DI CONVERSIONE CON APPROSSIMAZIONE DI 0°F (0°C)				
	REAZIONE DI REFORMING DI CH ₄ CON APPROSSIMAZIONE DI 0°F (0°C)				

	13,3	14,5	13,3	12,2	11,3
CO	15,3	14,5	13,3	12,2	11,3
CH ₄	0,2	1,8	4,4	6,8	8,9
CO ₂	7,7	8,0	8,5	8,9	9,2
H ₂	76,8	75,7	73,8	72,1	70,6

Velocità spaziale = 2518 V/V/ora.

TABELLA IV

RIASSUNTO DI PROVE CONDOTTE A 1600°F (871,1°C)

Prova No.	18	19	20	21	22
Temperat.all'uscita, °F (°C)	1600 (871,1)	1600 (871,1)	1600 (871,1)	1600 (871,1)	1600 (871,1)
Pressione operativa relativa, libb/poll (kg/cm ²)	20,3 (1,427)	100,0 (7,03)	199,4 (14)	297,0 (20,88)	398,6 (28,02)
Rapporto S/G	2,96	3,0	2,96	2,96	3,01
K _p della reazione di conversione (shift)	0,778	0,754	0,794	0,826	0,812
K _p della reazione di reforming	6,156	2,833x10 ²	5,887x10 ²	5,788x10 ²	7,71x10 ²
Approssimazione della reazione di conver- sione, °F (°C)	-30 (-16,6)	-50 (-27,7)	-18 (-10)	+5 (2,7)	-5 (-2,7)
Approssimazione del- l'azione di reforming, °F (°C)	+351 (194,9)	+86 (47,7)	+28 (15,5)	+30 (16,6)	+5 (2,7)
Conversione, %	82,3	93,5	90,0	94,0	81,6

COMPOSIZIONE DEL GAS PRODOTTO, % IN VOLUME CORRETTO

CO	14,4	15,9	15,4	14,3	14,0
CH ₄	4,7	1,6	2,5	4,2	4,9
CO ₂	7,5	7,0	7,2	7,7	7,8
H ₂	73,4	75,5	75,9	73,8	73,3

TABELLA IV (continuazione)

Rese previste -

REAZIONE DI CONVERSIONE CON APPROSSIMAZIONE DI 0°F (0°C)

Prova No.	REAZIONE DI REFORMING DI CH ₄ CON APPROSSIMAZIONE DI 50°F (27°C)				
	18	19	20	21	22
CO	16,3	15,8	14,9	13,9	13,2
CH ₄	0,1	1,1	3,0	4,9	6,7
CO ₂	7,0	7,1	7,5	7,9	8,1
H ₂	76,6	76,0	76,0	73,3	72,0

Composizione del gas
all'equilibrio -

REAZIONE DI CONVERSIONE CON APPROSSIMAZIONE DI 0°F (0°C)

REAZIONE DI REFORMING DI CH₄ CON APPROSSIMAZIONE DI 50°F (27°C)

CO	16,3	16,0	15,4	14,7	14,0
CH ₄	0,1	0,6	1,9	3,3	4,8
CO ₂	6,9	7,1	7,3	7,6	7,8
H ₂	76,7	76,3	75,4	74,4	73,4

Velocità spaziale = 2518 V/V/ora.

TABELLA V

CALCOLI CAMPIONE PER LA PROVA No. 1

Medie dei campioni precedenti:

Temp. all'entrata °F (°C)	1301 (697,9)	(Termocoppie	410)
Temp. al centro °F (°C)	1223 (710)	(Termocoppie	411)
Temp. all'uscita °F (°C)	1297 (702,7)	(Termocoppie	412)

Pressione operativa relativa - 19,84 libb/poll² (1,39 kg/cm²) (2,35 At)

Alimentazione: HC - 674 piedi³/ora (19 m³/ora) (7,893 grammo moli. C_{1.04}H_{4.25} (gas naturale))
₂H₂O - 429,4 cc/ora (23,856 grammo moli.)
Rapporto - HC:H₂O - 1:3,02

Analisi del prodotto, % in volume

	Normalizzata	Moli di
	Senza azoto	idrocarburo
N ₂	0,3	
CO	5,4	0,1279
CH ₄	27,86	0,6633
CO ₂	10,5	0,2488
H ₂	55,94	

H₂ equilibrato

		% in volume corretto
CO	0,1279	5,3
CH ₄	0,6633	27,3
CO ₂	0,2488	10,2
H ₂	1,3883	57,2
H ₂ O	<u>2,3945</u>	
TOTALE	4,8228	

Conversione - 36,2%

$$H_1 = \frac{(0,2488 \times 1,3983)}{(0,1279 \times 2,3945)} = 1,128 \quad 1431^{\circ}\text{F} \quad (777,2^{\circ}\text{C})$$

$$H_2 = \frac{(0,1279 \times (1,3883)^3)}{(0,6633 \times (2,3945)} = \frac{2,35^2}{4,9228} = 0,099 \quad 1038^{\circ}\text{F} \quad (559^{\circ}\text{C})$$

Esempio 1

Produzione di formiato di nichel usando acido formico e perossido di idrogeno.

Due strisce ritorte di nichel ottenute dalla stessa fonte e del peso di 30 g sono state immerse ciascuna in 182 ml di acido formico al 90% in cilindri graduati da 250 ml. In un cilindro si sono aggiunti 12 ml di H_2O_2 al 30% (prova) ed al secondo cilindro si sono aggiunti 12 ml di acqua distillata (controllo). I cilindri sono stati lasciati in riposo per lo spazio di una notte in modo da raggiungere condizioni di equilibrio. Il campione in prova ha mostrato segni di reazione perche' si sono formate bolle, la soluzione e' passata ad un colore verde ed il cilindro si e' scaldato. Il campione di controllo non ha mostrato alcun segno di reazione. Le strisce di nichel sono state rimosse e le soluzioni sono state analizzate per stabilire la presenza di ioni nichel. La soluzione in prova conteneva 0,21% in peso di nichel, mentre la soluzione di controllo conteneva 0,003% in peso di nichel.

Da questo esperimento risulta evidente che non si ha la formazione di formiato di nichel quando strisce contenenti nichel vengono immerse in una soluzione concentrata di acido formico. Non

vi e' sostanzialmente alcuna reazione e solo una piccolissima quantità di nichel passa in soluzione. Invece da una soluzione di acido formico e perossido di idrogeno si ha la deposizione sulla superficie di nichel di uno strato coprente di formiato di nichel.

Nella precedente descrizione e' chiaro che vi sono larghe possibilità di modificazioni, variazioni e sostituzioni e che in certi casi certe particolarità della presente invenzione verranno impiegate senza un corrispondente uso di altre particolarità. Pertanto e' opportuno che le allegate rivendicazioni vengano interpretate in senso lato ed in modo conforme allo spirito ed ambito della presente invenzione.

RIVENDICAZIONI

1. Processo per il reforming con vapor acqueo di idrocarburi in modo da ottenere un gas di sintesi ricco di idrogeno, il quale processo comprende il contatto di una miscela di un idrocarburo e vapor acqueo con un catalizzatore, detto catalizzatore essendo in relazione di scambio termico indiretto con una sorgente di calore, processo caratterizzato dal fatto di presentare il perfezionamento in base al quale detto catalizzatore

comprende una striscia allungata di nichel elementare che e' stata messa a contatto con perossido di idrogeno ed acido formico in quantità sufficienti a formare sulla striscia uno strato di formiato di nichel.

2. Processo per il reforming di idrocarburi con vapor acqueo il quale comprende

il contatto di una striscia allungata contenente nichel con perossido di idrogeno ed acido formico in modo tale che su detta striscia si forma uno strato di formiato di nichel;

il contatto dello strato di formiato di nichel con gli idrocarburi ed il vapor acqueo in presenza di una sorgente di calore in relazione di scambio termico indiretto, in modo che avviene una decomposizione del formiato di nichel nella quale si ha lo sviluppo di gas costituiti da idrogeno e biossido di carbonio, di modo che lo strato di nichel viene altamente attivato e gli idrocarburi ed il vapor acqueo reagiscono in modo da produrre un gas di sintesi ricco di idrogeno.

3. Catalizzatore per il reforming di idrocarburi con vapor acqueo il quale comprende:

una striscia allungata contenente nichel attivato adatta ad essere collocata in un tubo ri-

scaldato per accogliere gli idrocarburi ed il vapor acqueo in modo che gli idrocarburi ed il vapore acqueo reagiscono con produzione di un gas di sintesi ricco di idrogeno.

4. Catalizzatore per il reforming di idrocarburi con vapore acqueo secondo la rivendicazione 3, caratterizzato dal fatto che detta striscia e' modellata con una configurazione ritorta.

5. Catalizzatore per il reforming di idrocarburi con vapor acqueo secondo la rivendicazione 3, caratterizzato dal fatto che detta striscia e' sotto forma di un elemento centrale con elementi ramificati che si estendono radialmente da detto elemento centrale.

6. Catalizzatore per il reforming di idrocarburi con vapor acqueo secondo la rivendicazione 4, caratterizzato dal fatto che detta striscia e' sotto forma di una barra centrale, attorno a detta barra centrale essendo avvolto a spirale uno sbizzarrito piatto, in modo che in detto tubo si forma un passaggio elicoidale attraverso il quale fluiscono idrocarburi e vapor acqueo.

7. Catalizzatore per il reforming di idrocarburi con vapor acqueo secondo la rivendicazione 3, caratterizzato dal fatto che detta striscia ha una

configurazione attorta con un fattore Y compreso fra 1,8 e 3,0.

8. Processo per l'attivazione di un ca
talizzatore caratterizzato dal fatto di compre
dere:

il trattamento di una striscia allungata contenente nichel con una soluzione di acido formico e perossido di idrogeno in modo da depositare sulla striscia uno strato di formiato di nichel;

la decomposizione del formiato di nichel con una sorgente di calore in modo che avviene una decomposizione del formiato di nichel nella quale si sviluppano gas, così che lo strato di formiato di nichel viene altamente attivato.

9. processo secondo la rivendicazione 8,
caratterizzato dal fatto che la soluzione contiene da 20 a 95% in peso di acido formico al 90% e da 5 a 80% in peso di perossido di idrogeno.

10. Processo secondo la rivendicazione 8,
in cui la soluzione contiene da 80 a 90% in peso di acido formico al 90% e da 10 a 20% in peso di perossido di idrogeno al 30%.

11. Reattore per il reforming di idrocarburi con vapor acqueo, caratterizzato dal fatto di comprendere:

un recipiente;
una pluralità di tubi disposti in detto recipiente;
mezzi per riscaldare detti tubi; e
un catalizzatore contenente nichel sotto forma di una striscia allungata attivata collaudata in ciascuno di detti tubi, in modo che detti idrocarburi e detto — vapor acqueo possono passare attraverso detti tubi e reagire cataliticamente in modo da produrre un gas di sintesi ricco di idrogeno.

12. Reattore secondo la rivendicazione 11, caratterizzato dal fatto che il catalizzatore viene formato mediante il processo rivendicato nella rivendicazione 8.

13. Processo secondo la rivendicazione 11, caratterizzato dal fatto che il catalizzatore contenente nichel e' formato di nichel.

DICHIARAZIONE E MANDATO

Noi, JOSEPH F. McMAHON e PETER STEINER, dichiamiamo di essere cittadini Statunitensi, residenti a Clinton (New Jersey), 14 Highfields Road, e ad Edison (New Jersey), 10 Farmhaven Avenue, rispettivamente; di ritenerci autori originali, primi e associati, del perfezionamento tecnico intitolato PROCESSO DI REFORM-
ING CATALITICO CON VAPORE ACQUEO, il quale perfezionamento è descritto e rivendicato nella esposizione descrittiva che precede; che la presente domanda riporta in parte e rivendica materia riportata nella nostra parallela domanda No. 249.208 depositata il 30 marzo 1981, la quale era una continuazione della Domanda No. 792.844 depositata il 2 marzo 1977, che era una divisione della No. 572.797 depositata il 29 aprile 1975, che era una continuazione della No. 267.793 depositata il 30 giugno 1972; che noi accettiamo l'obbligo di segnalare notizie di cui siamo a conoscenza e che hanno importanza per l'esame di questa domanda; che non ci risulta e non crediamo che la medesima sia mai stata conosciuta o utilizzata negli Stati Uniti d'America prima della nostra relativa invenzione o che sia stata brevettata o descritta in alcuna pubblicazione a stampa in alcun paese prima della nostra relativa invenzione o più di un anno prima di dette

domande antecedenti o che sia stata pubblicamente utilizzata o posta in vendita negli Stati Uniti di America più di un anno prima delle dette domande antecedenti; che la detta materia comune non è stata brevettata o fatta oggetto di certificato di inventore rilasciato anteriormente alle dette antecedenti domande in alcun paese straniero agli Stati Uniti di America su domanda depositata da noi o da nostri legali rappresentanti o cessionari più di dodici mesi prima delle dette anteriori domande; e che nessuna domanda di brevetto o di certificato di inventore in relazione alla detta invenzione è stata depositata da noi o da nostri rappresentanti o cessionari in almeno i paesi seguenti:

PAESE	No. BREVETTO	DATA DI DEPOSITO O DI CONCESSIONE
Canada	Brev. 1.008.667	19 aprile 1977
Messico	Brev. 136.663	
Giappone	Dom. No. 73521/73	29 giugno 1973
Francia	Dom. No. 7323964	
Gr. Br.	Brev. 1.445.121	4 agosto 1976
Italia	Brev. 988.292	28 giugno 1973
Spagna	Brev. 416.966	27 sett. 1976
Argentina	Abbandonata	
Brasile	Abbandonata	
Germania	Abbandonata	

314 119
2005-07-11 10:00:00 2005-07-11 10:00:00

Ways of the Lord

1930-1931. 1938. 01229.

19. 1995 1996 1997 1998 1999 2000 2001 2002 2003 2004 2005 2006 2007 2008 2009 2010 2011 2012 2013 2014 2015 2016 2017 2018 2019 2020 2021 2022 2023 2024 2025 2026 2027 2028 2029 2030 2031 2032 2033 2034 2035 2036 2037 2038 2039 2040 2041 2042 2043 2044 2045 2046 2047 2048 2049 2050 2051 2052 2053 2054 2055 2056 2057 2058 2059 2060 2061 2062 2063 2064 2065 2066 2067 2068 2069 2070 2071 2072 2073 2074 2075 2076 2077 2078 2079 2080 2081 2082 2083 2084 2085 2086 2087 2088 2089 2090 2091 2092 2093 2094 2095 2096 2097 2098 2099 20000 20001 20002 20003 20004 20005 20006 20007 20008 20009 20010 20011 20012 20013 20014 20015 20016 20017 20018 20019 20020 20021 20022 20023 20024 20025 20026 20027 20028 20029 20030 20031 20032 20033 20034 20035 20036 20037 20038 20039 20040 20041 20042 20043 20044 20045 20046 20047 20048 20049 20050 20051 20052 20053 20054 20055 20056 20057 20058 20059 20060 20061 20062 20063 20064 20065 20066 20067 20068 20069 20070 20071 20072 20073 20074 20075 20076 20077 20078 20079 20080 20081 20082 20083 20084 20085 20086 20087 20088 20089 20090 20091 20092 20093 20094 20095 20096 20097 20098 20099 200000 200001 200002 200003 200004 200005 200006 200007 200008 200009 200010 200011 200012 200013 200014 200015 200016 200017 200018 200019 200020 200021 200022 200023 200024 200025 200026 200027 200028 200029 200030 200031 200032 200033 200034 200035 200036 200037 200038 200039 200040 200041 200042 200043 200044 200045 200046 200047 200048 200049 200050 200051 200052 200053 200054 200055 200056 200057 200058 200059 200060 200061 200062 200063 200064 200065 200066 200067 200068 200069 200070 200071 200072 200073 200074 200075 200076 200077 200078 200079 200080 200081 200082 200083 200084 200085 200086 200087 200088 200089 200090 200091 200092 200093 200094 200095 200096 200097 200098 200099 2000000 2000001 2000002 2000003 2000004 2000005 2000006 2000007 2000008 2000009 2000010 2000011 2000012 2000013 2000014 2000015 2000016 2000017 2000018 2000019 2000020 2000021 2000022 2000023 2000024 2000025 2000026 2000027 2000028 2000029 2000030 2000031 2000032 2000033 2000034 2000035 2000036 2000037 2000038 2000039 2000040 2000041 2000042 2000043 2000044 2000045 2000046 2000047 2000048 2000049 2000050 2000051 2000052 2000053 2000054 2000055 2000056 2000057 2000058 2000059 2000060 2000061 2000062 2000063 2000064 2000065 2000066 2000067 2000068 2000069 2000070 2000071 2000072 2000073 2000074 2000075 2000076 2000077 2000078 2000079 2000080 2000081 2000082 2000083 2000084 2000085 2000086 2000087 2000088 2000089 2000090 2000091 2000092 2000093 2000094 2000095 2000096 2000097 2000098 2000099 20000000 20000001 20000002 20000003 20000004 20000005 20000006 20000007 20000008 20000009 20000010 20000011 20000012 20000013 20000014 20000015 20000016 20000017 20000018 20000019 20000020 20000021 20000022 20000023 20000024 20000025 20000026 20000027 20000028 20000029 20000030 20000031 20000032 20000033 20000034 20000035 20000036 20000037 20000038 20000039 20000040 20000041 20000042 20000043 20000044 20000045 20000046 20000047 20000048 20000049 20000050 20000051 20000052 20000053 20000054 20000055 20000056 20000057 20000058 20000059 20000060 20000061 20000062 20000063 20000064 20000065 20000066 20000067 20000068 20000069 20000070 20000071 20000072 20000073 20000074 20000075 20000076 20000077 20000078 20000079 20000080 20000081 20000082 20000083 20000084 20000085 20000086 20000087 20000088 20000089 20000090 20000091 20000092 20000093 20000094 20000095 20000096 20000097 20000098 20000099 200000000 200000001 200000002 200000003 200000004 200000005 200000006 200000007 200000008 200000009 200000010 200000011 200000012 200000013 200000014 200000015 200000016 200000017 200000018 200000019 200000020 200000021 200000022 200000023 200000024 200000025 200000026 200000027 200000028 200000029 200000030 200000031 200000032 200000033 200000034 200000035 200000036 200000037 200000038 200000039 200000040 200000041 200000042 200000043 200000044 200000045 200000046 200000047 200000048 200000049 200000050 200000051 200000052 200000053 200000054 200000055 200000056 200000057 200000058 200000059 200000060 200000061 200000062 200000063 200000064 200000065 200000066 200000067 200000068 200000069 200000070 200000071 200000072 200000073 200000074 200000075 200000076 200000077 200000078 200000079 200000080 200000081 200000082 200000083 200000084 200000085 200000086 200000087 200000088 200000089 200000090 200000091 200000092 200000093 200000094 200000095 200000096 200000097 200000098 200000099 2000000000 2000000001 2000000002 2000000003 2000000004 2000000005 2000000006 2000000007 2000000008 2000000009 2000000010 2000000011 2000000012 2000000013 2000000014 2000000015 2000000016 2000000017 2000000018 2000000019 2000000020 2000000021 2000000022 2000000023 2000000024 2000000025 2000000026 2000000027 2000000028 2000000029 2000000030 2000000031 2000000032 2000000033 2000000034 2000000035 2000000036 2000000037 2000000038 2000000039 2000000040 2000000041 2000000042 2000000043 2000000044 2000000045 2000000046 2000000047 2000000048 2000000049 2000000050 2000000051 2000000052 2000000053 2000000054 2000000055 2000000056 2000000057 2000000058 2000000059 2000000060 2000000061 2000000062 2000000063 2000000064 2000000065 2000000066 2000000067 2000000068 2000000069 2000000070 2000000071 2000000072 2000000073 2000000074 2000000075 2000000076 2000000077 2000000078 2000000079 2000000080 2000000081 2000000082 2000000083 2000000084 2000000085 2000000086 2000000087 2000000088 2000000089 2000000090 2000000091 2000000092 2000000093 2000000094 2000000095 2000000096 2000000097 2000000098 2000000099 20000000000 20000000001 20000000002 20000000003 20000000004 20000000005 20000000006 20000000007 20000000008 20000000009 20000000010 20000000011 20000000012 20000000013 20000000014 20000000015 20000000016 20000000017 20000000018 20000000019 20000000020 20000000021 20000000022 20000000023 20000000024 20000000025 20000000026 20000000027 20000000028 20000000029 20000000030 20000000031 20000000032 20000000033 20000000034 20000000035 20000000036 20000000037 20000000038 20000000039 20000000040 20000000041 20000000042 20000000043 20000000044 20000000045 20000000046 20000000047 20000000048 20000000049 20000000050 20000000051 20000000052 20000000053 20000000054 20000000055 20000000056 20000000057 20000000058 20000000059 20000000060 20000000061 20000000062 20000000063 20000000064 20000000065 20000000066 20000000067 20000000068 20000000069 20000000070 20000000071 20000000072 20000000073 20000000074 20000000075 20000000076 20000000077 20000000078 20000000079 20000000080 20000000081 20000000082 20000000083 20000000084 20000000085 20000000086 20000000087 20000000088 20000000089 20000000090 20000000091 20000000092 20000000093 20000000094 20000000095 20000000096 20000000097 20000000098 20000000099 200000000000 200000000001 200000000002 200000000003 200000000004 200000000005 200000000006 200000000007 200000000008 200000000009 200000000010 200000000011 200000000012 200000000013 200000000014 200000000015 200000000016 200000000017 200000000018 200000000019 200000000020 200000000021 200000000022 200000000023 200000000024 200000000025 200000000026 200000000027 200000000028 200000000029 200000000030 200000000031 200000000032 200000000033 200000000034 200000000035 200000000036 200000000037 200000000038 200000000039 200000000040 200000000041 200000000042 200000000043 200000000044 200000000045 200000000046 200000000047 200000000048 200000000049 200000000050 200000000051 200000000052 200000000053 200000000054 200000000055 200000000056 200000000057 200000000058 200000000059 200000000060 200000000061 200000000062 200000000063 200000000064 200000000065 200000000066 200000000067 200000000068 200000000069 200000000070 200000000071 200000000072 200000000073 200000000074 200000000075 200000000076 200000000077 200000000078 200000000079 200000000080 200000000081 200000000082 200000

10-25280-21-1001-100000

Section 1. General. Page 1 of 2

1.000 G 1.000 G 1.000 G

CONTINUATION

870.01.100d 47.307

STRUCTURE OF FLY FLY

Olanda Abbandonata;

che, per quanto riguarda materia che la presente domanda non ha in comune con dette anteriori domande, non ci risulta e non crediamo che tale materia sia mai stata conosciuta o utilizzata negli Stati Uniti d'America prima della nostra relativa invenzione o che sia stata brevettata o descritta in alcuna pubblicazione a stampa in alcun paese un anno prima della data di questa domanda o che sia stata pubblicamente utilizzata o posta in vendita negli Stati Uniti di America più di un anno prima di questa domanda e che la detta materia non è stata brevettata o fatta oggetto di certificato di inventore rilasciato in alcun paese straniero agli Stati Uniti d'America su domanda depositata da noi o da nostri legali rappresentanti o cessionari più di dodici mesi prima della data di questa domanda; e che nessuna domanda o brevetto o certificato di inventore in relazione alla detta invenzione è stata depositata da noi o da nostri rappresentanti o cessionari in alcun paese straniero agli Stati Uniti d'America.

E con la presente deleghiamo Marvin A. Naigur (No. di Registrazione 21.025), John E. Wilson (No. di Reg. 22.452) e Robert D. Bajefsky (No. di Reg. 25.387) quali nostri mandatari a seguire questa do-

અને એની પ્રાણી જીવિતી રીતીની એ પ્રાણી જીવિતી કે

1998-99 (Nepal) to operate with the following objectives:

CHAP. 11. — THE EPIPHANY OF THE SAVIOR IN THE JORDAN.

March 19, 1968. Received by the U.S.A. 1968. 31. 1. 1968.

193.079888 330.000000 0.000000 0.000000 0.000000 0.000000

Digitized by srujanika@gmail.com

2023 RELEASE UNDER E.O. 14176

¹⁰ See the discussion of the "rule of law" in the introduction to this volume.

Digitized by srujanika@gmail.com

Digitized by srujanika@gmail.com

11. *Leucosia* *leucostoma* (Fabricius) *leucostoma* (Fabricius) *leucostoma* (Fabricius)

Digitized by srujanika@gmail.com

manda e a svolgere presso l'Ufficio dei Brevetti e dei Marchi Commerciali tutte le pratiche ad essa connesse. Ogni corrispondenza e comunicazione va inviata a Marvin A. Naigur, Esq., Foster Wheeler Energy Corporation, 110 South Orange Avenue, Livingston, New Jersey 07039, tel. (201) 533-1100.

Con la presente dichiariamo che tutte le dichiarazioni fatte nella presente sono, per la parte di nostra diretta conoscenza, dichiarazioni veritiere e che tutte le dichiarazioni da noi fatte in base ad informazioni ricevute e per convinzione sono da noi ritenute rispondenti al vero; e inoltre che tali dichiarazioni sono state da noi fatte con la consapevolezza che dichiarazioni intenzionalmente false e dichiarazioni fatte in maniera simile sono punibili con ammenda o detenzione, o con entrambe, ai termini della Sezione 1001, Capitolo 18, del Codice degli Stati Uniti e che tali dichiarazioni intenzionalmente false possono compromettere la validità della domanda o di qualsiasi brevetto rilasciato in seguito alla stessa.

(f.to) JOSEPH F. McMAHON
14 Highfields Road
Data: 7 DIC 1981 Clinton, New Jersey

(f.to) PETER STEINER
10 Farmhaven Avenue
Data: 1/12/81 Edison, New Jersey

PER TRADUZIONE CONFERME

UFFICIO BREVETTI U.S.A. INC. C. GREGORI

UNICO SYSTEMS LTD. AND CREDITON

15. STUDYING THE COGNITIVE MECHANISMS OF COGNITIVE MODELS

systemen in hetzelfde verband staan. Deze zijn in de volgende tabel samengevoegd.

100% SO_4^{2-} + 10% MgSO_4 (optimal)

A STUDY OF THE USE OF DIFFERENT

1982-2, 43.1, 19031-1, 1982-2, 43.1, 19031-1

1. INTRODUCTION

15. *Scirpus lacustris* L. (see p. 15)

卷之三

24429A/82

12486



FIG. I

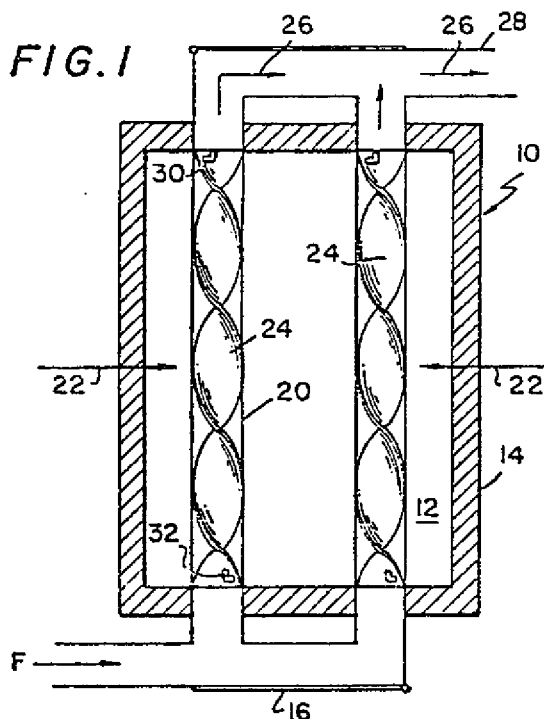


FIG. 2

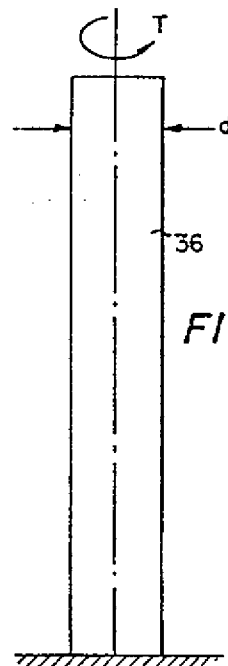


FIG. 3

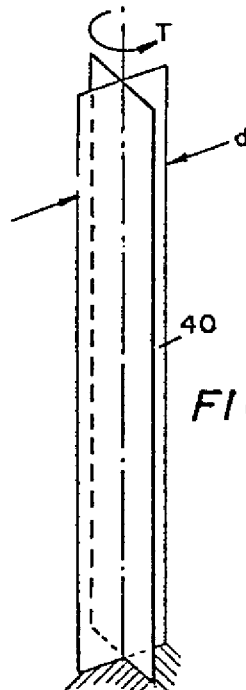
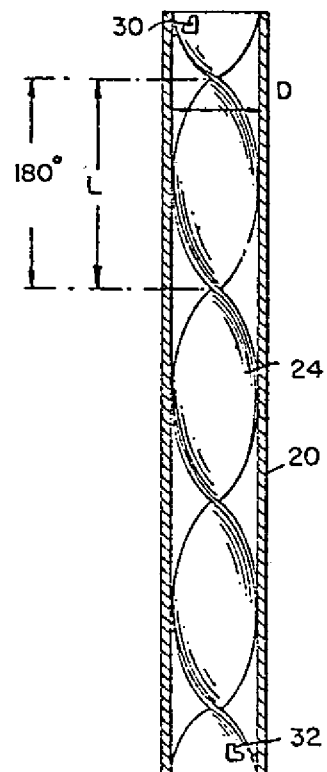


FIG. 4



l'Ufficiale Rogante
(Ufficiale Russo)

UFFICIO BREVETTI
Ing. C. GREGORI

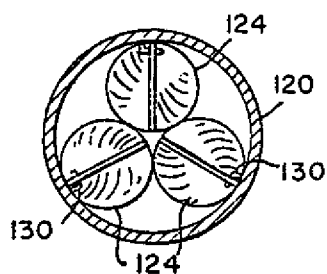
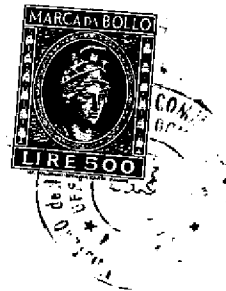


FIG. 5

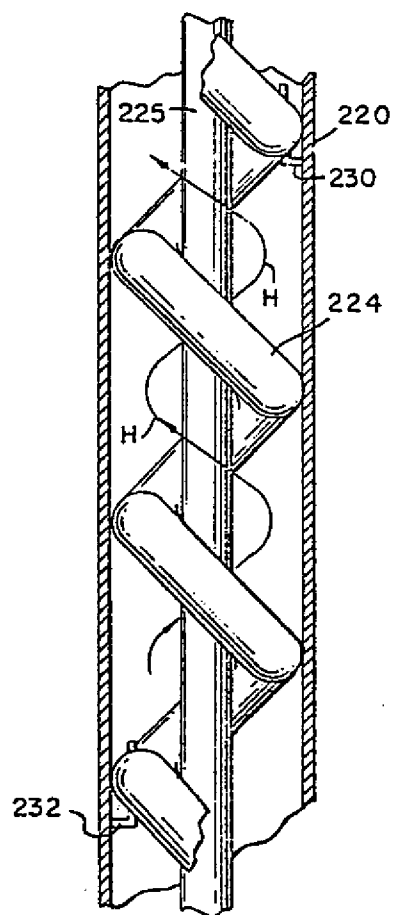


FIG. 6

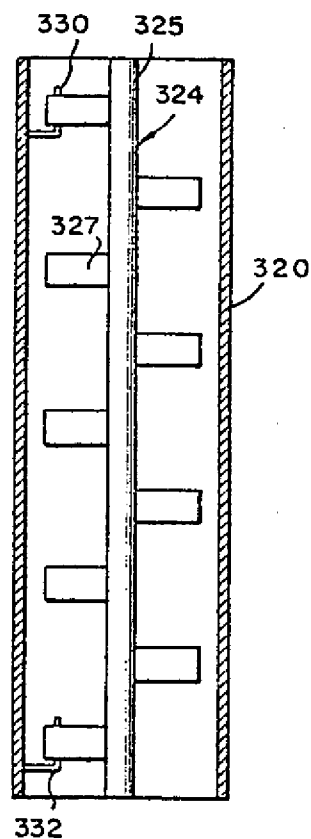


FIG. 7



I'Ufficio Rogante
(idillio Russo)
[Signature]

UFFICIO BREVETTI
Ing. C. GREGORI
[Signature]

24429 A/82

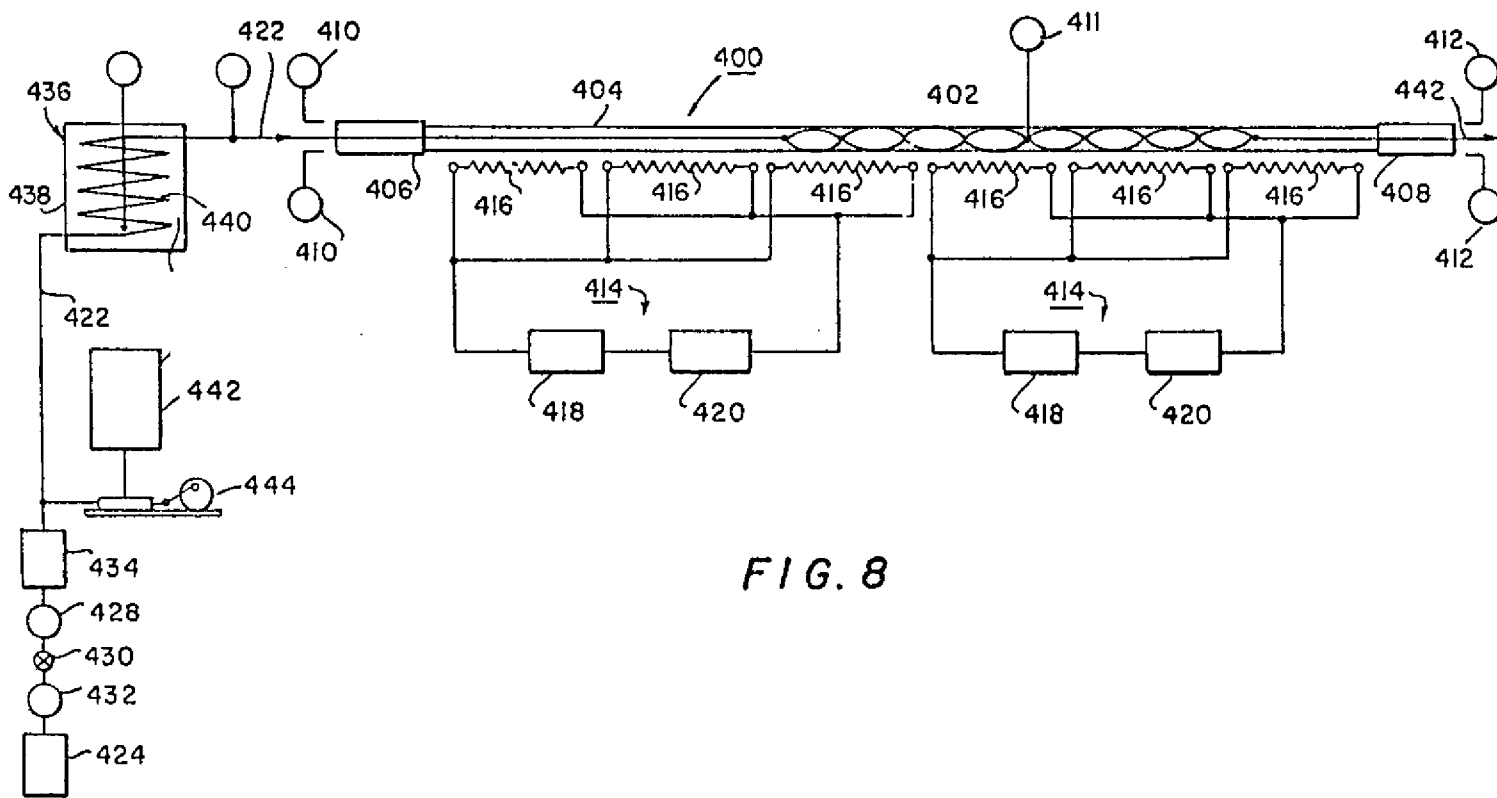
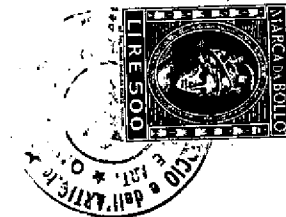
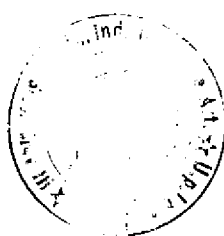


FIG. 8



UFFICIO SREVETI
Ing. C. CIEGON

Ufficio - Rocante
(M. Russo)



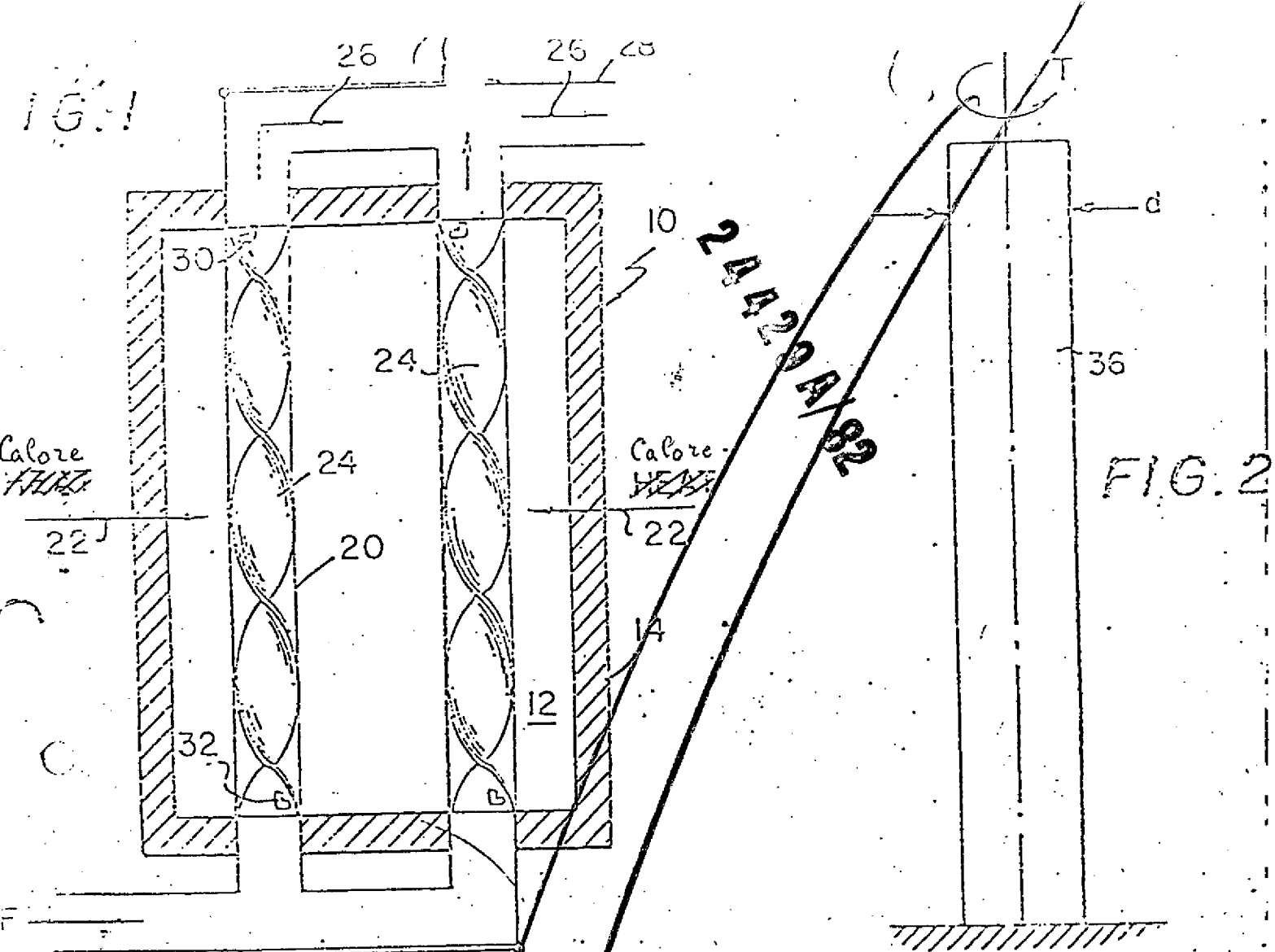


FIG. 2

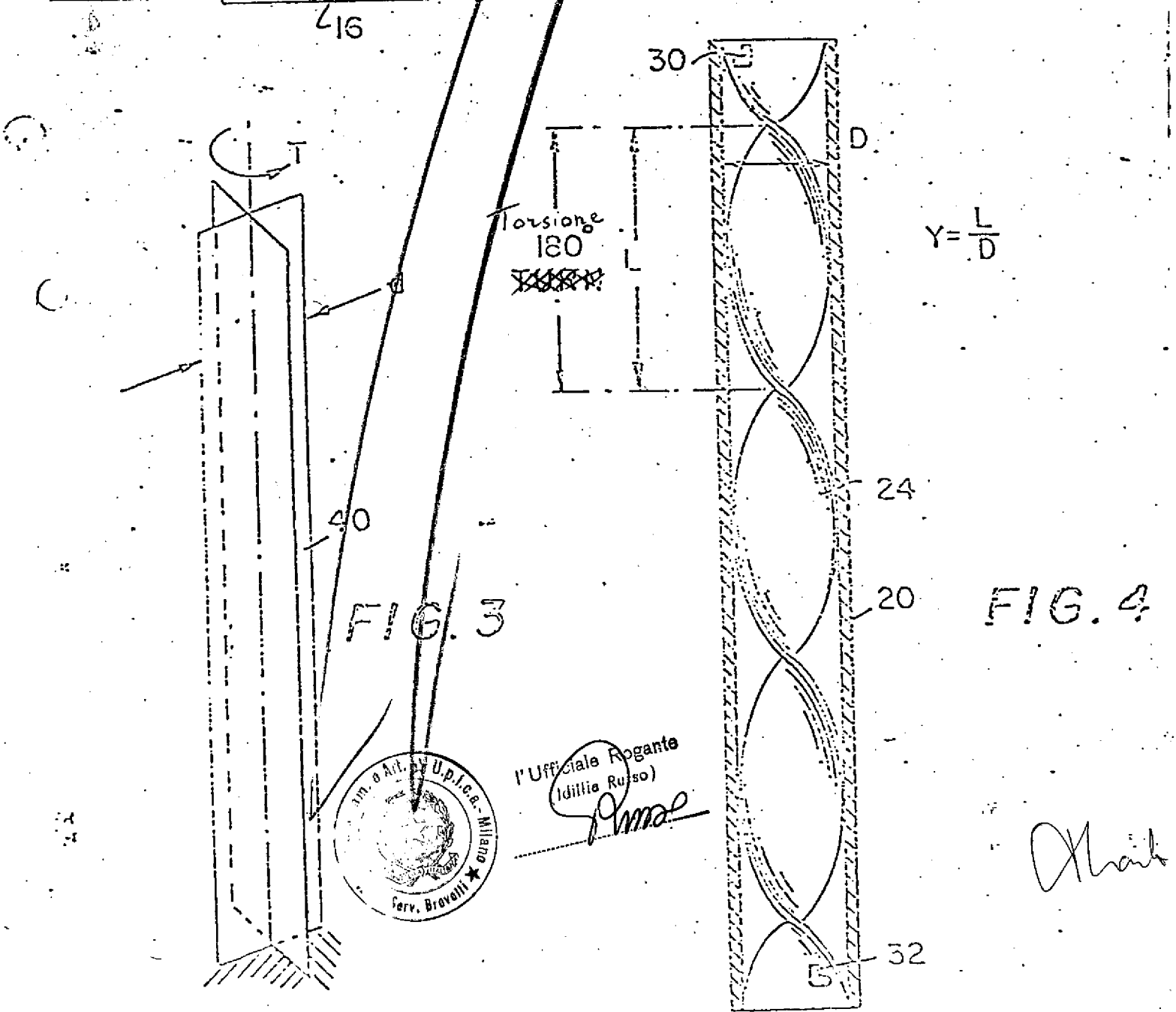


FIG. 4

Albato

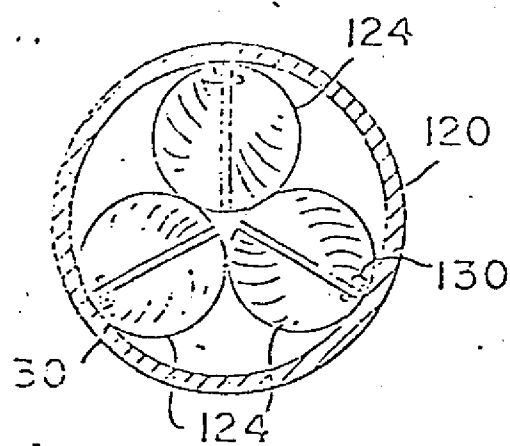


FIG. 5

24/12/97/16

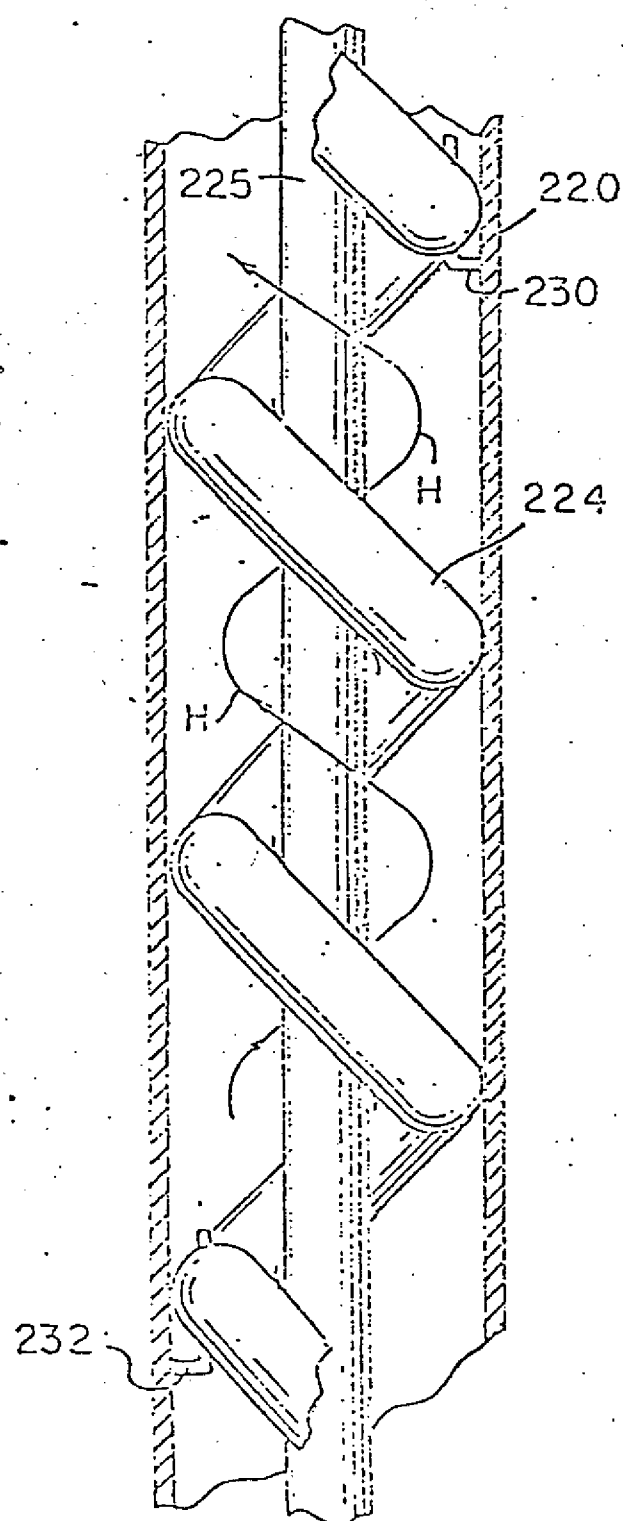


FIG. 6

12/12/97/16
G. S. Rogan
(G. S. Rogan)
Anne D. Nash

